

Ecole Polytechnique de Thiès

PROJET DE FIN D'ETUDES

GC.0307

Titre: Charpentes Bidimensionnelles

Conception Assistée par

ORDINATEUR

Auteur: THIerno Fall

Directeur: Moustapha Ndiaye

Juin 85

## Dédicace

A mes parents

A mon oncle, qui m'a jamais cessé  
de me guider sur le droit chemin, le chemin  
de la vérité, le chemin de la réussite.

A ma chère femme, qui très tôt, a  
pu partager mon destin.

A tous ceux qui ne m'ont jamais  
menagé leur soutien sincère durant cette  
longue et pénible traversée qui commençait  
un jour d'Octobre, il y a dix-huit ans.

## Remerciements

Je tiens tout d'abord à adresser mes sincères remerciements à Monsieur Moustapha Ndiaye professeur de STRUCTURES à l'école polytechnique de Thiès, qui a bien voulu m'encadrer pour la réalisation de ce présent projet. Son apport documentaire choisi, ses conseils permanents et précieux et sa disponibilité plus ou moins régulière malgré son emploi du temps chargé, ont grandement contribué à l'accomplissement de ce travail.

Mes remerciements vont aussi au personnel du centre de calcul pour leurs riches suggestions et leur aide matérielle constante et spontanée.

Je remercie enfin les camarades Tanis Maak et Pakotogo Richard pour leur soutien moral et leur apport documentaire constant.

## SOMMAIRE

La méthode des éléments finis, constituée, actuellement  
- de de pointe pour l'analyse mathématique des structures  
- la tenue de leur complexité variable. La fiabilité et l'efficacité  
d'un programme d'ordinateur sont gouvernées par une analyse  
structurale bien conçue.

Le logiciel conçu en FORTRAN 77 des éléments-cadres  
à deux dimensions permet une analyse généralisée des struc-  
- tures en étudiant à la fois:

- \* une analyse linéaire des ossatures;
- \* une analyse non-linéaire (effet P. delta) des éléments et de l'ensemble de la structure;
- \* les contraintes de cisaillement dans les pontes profonds.

Il permet à partir des algorithmes de calcul d'entreprendre avec l'avènement du micro-mega, la résolution de quatre problèmes classiques d'ingénierie: l'analyse structurale précise, le dimensionnement, la réalisation et le contrôle par ordinateur.

Malgré la mise au point fastidieuse de ce long programme en Fortran 77, toutes les sous-routines ont subi des tests réussis. Et le programme principal n'a pu être testé avec succès qu'avec l'analyse linéaire sur trois cas de structures (appendice A, B et C) qui ont été étudiés par d'autres. Les chargements en travee, considérés se limitent aux charges uniformes et au maximum à trois charges ponctuelles par membre. Cependant une campagne intensive de tests et d'essais doit être effectuée pour une plus stricte confirmation des résultats obtenus pour l'analyse non-linéaire et la simulation des pontes profonds.

## TABLE DES MATIERES

pages

### Chapitre I - INTRODUCTION

I-1 Objectif	1
I-2 Limites du programme	1

### Chapitre II - ANALYSE THEORIQUE

II-1 L'effet de cisaillement	3
II-2 Définition des effets P. delta	3
II-3 Définition des paramètres	4
II-4 Analyse structurale	4
II.4.1 Convention des signes	4
II.4.2 système de coordonnées	4
II.4.3 matrice de rigidité élémentaire	5
II.4.3.1 description de la méthode utilisée	5
II.4.3.2 Les équations d'équilibre	6
II.4.3.3 Les termes $k_{ij}$ de la matrice	8
II.4.3.4 coefficients de rigidité flexionnelle	10
II.4.3.4.1 force axiale de compression	10
II.4.3.4.2 force axiale de traction	11
II.4.3.4.3 force axiale nulle	11
II.4.3.5 matrice de rigidité d'une poutre bidimensionnelle en flexion composée	13
II.4.3.6 Transformation des coordonnées	13
II.4.4 chargement en travée	16
II.4.4.1 charge uniforme $w$	16
II.4.4.2 charge ponctuelle $q$	18

## Chapitre III STRUCTURE du PROGRAMME

III. 1	Généralités	20
III. 2	mode d'emploi	20
III. 3	Assemblage des éléments	21
III. 3. 1	Formation de la matrice globale de la structure.	21
III. 3. 2	matrices bandées	21
III. 3. 3	Les appuis rigides	23
III. 4	Solution des équations	23
III. 4. 1	methode de Gauss par décompo- -sition pour largeur de bande variable	24
III. 5	Rôle des sous-routines	26
III. 6	Définition des paramètres	27
III. 7	fonctionnement du programme	28
III. 8	Organigramme	29

## Chapitre IV CONCLUSION et RECOMMANDATION

IV. 1	conclusion	43
IV. 2	Recommandation	44

## Chapitre V

V. 1	présentation du programme	47
V. 2	Les appendices	63
V. 3	Bibliographie	80

# Chapitre I. INTRODUCTION

## I. 1 Objectif

Ce présent rapport concerne l'analyse assistée par ordinateur des structures bidimensionnelles en béton armé. Cette étude tiendra compte de la non linéarité géométrique (effet P. Δ), et devra être capable de simuler le comportement des poutres profondes en regard aux contraintes de cisaillement.

En raison du nombre important de paramètres qui gouvernent les structures, l'élaboration d'un programme d'ordinateur demeure très opportune pour les raisons fondamentales suivantes :

- \* La résolution optimale des équations aux déplacements;
- \* La détermination des efforts internes en bout de membres et aux dixièmes de portée;
- \* Les calculs itératifs peuvent fastidieuses pour l'étude de l'effet P. delta en vue de définir la stabilité des structures.

## I-2 Limites du programme

Malgré l'importance de son domaine d'action, une application adéquate de ce programme nécessite certaines restrictions pour lui conférer un caractère plus généralisé :

- \* les structures hybrides ne sont pas étudiées;
- \* le nombre d'éléments d'une structure est limité à dix
- \* le nombre de nœuds est limité à 330
- \* trois charges ponctuelles au maximum en travée sont permises par un même élément

## — Chapitre II Analyse Théorique —

### II-1 L'effet de cisaillement

En théorie flexionnelle, lorsqu'une poutre est soumise à un moment fléchissant variable, il se crée des contraintes tangentielles sur la facette latérale. À l'état de cisaillement, ces contraintes font équilibre avec l'effort tranchant extérieur.

La distorsion  $\gamma_c$  peut s'écrire

$$\gamma_c = \frac{V}{GA_s}$$

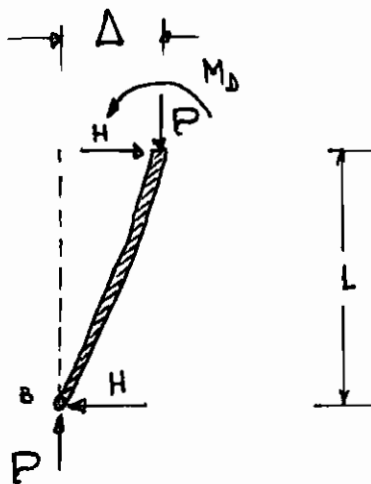
où  $V$ : effort tranchant

$G$ : module de cisaillement du matériau

$A_s$ : l'aire efficace de cisaillement

### II-2 Définition des effets P.Δ

Lorsqu'une structure subit un déplacement latéral  $\Delta$ , les charges  $P$  produisent dans la structure, des moments fléchissants et des efforts tranchants additionnels, que l'on ne peut calculer par une analyse du premier ordre. Nous aurons donc à traiter un comportement non-linéaire, qui ne répond plus à une proportionnalité directe: il s'agit de l'effet P. delta.





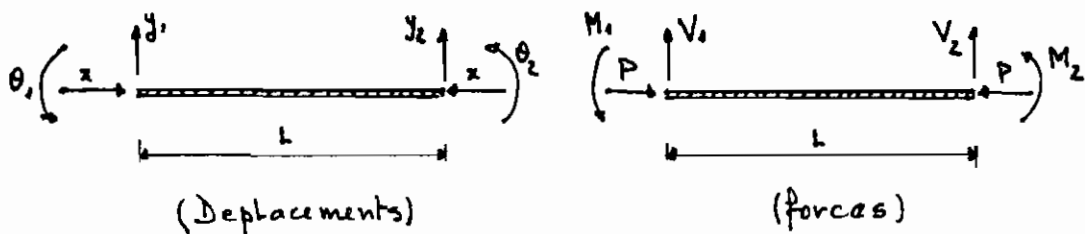
### II-3 Définition des Paramètres

Nature	Notation
module d'élasticité du matériau :	$E$
moment d'inertie du matériau :	$I$
module d'élasticité transversal :	$G$
longueur de l'élément :	$L$
force axiale appliquée :	$P$
Aire efficace de cisaillement :	$A_s$
Effort tranchant :	$V$
moment fléchissant :	$M$
charge ponctuelle :	$q$
charge uniforme :	$w$

### II-4 Analyse structurale

#### II-4.1 Convention des signes

le sens des flèches indique la direction positive des déplacements et des forces comme l'indique la figure suivante



(Déplacements)

(forces)

poutre en flexion composée

#### II-4.2 Système de coordonnées

En fait nous avons deux systèmes de coordonnées.

- les coordonnées de la membrure considérée : coordonnées locales;
- les coordonnées de la structure dites coordonnées globales.

### II.4.3 Construction de la matrice de rigidité élémentaire

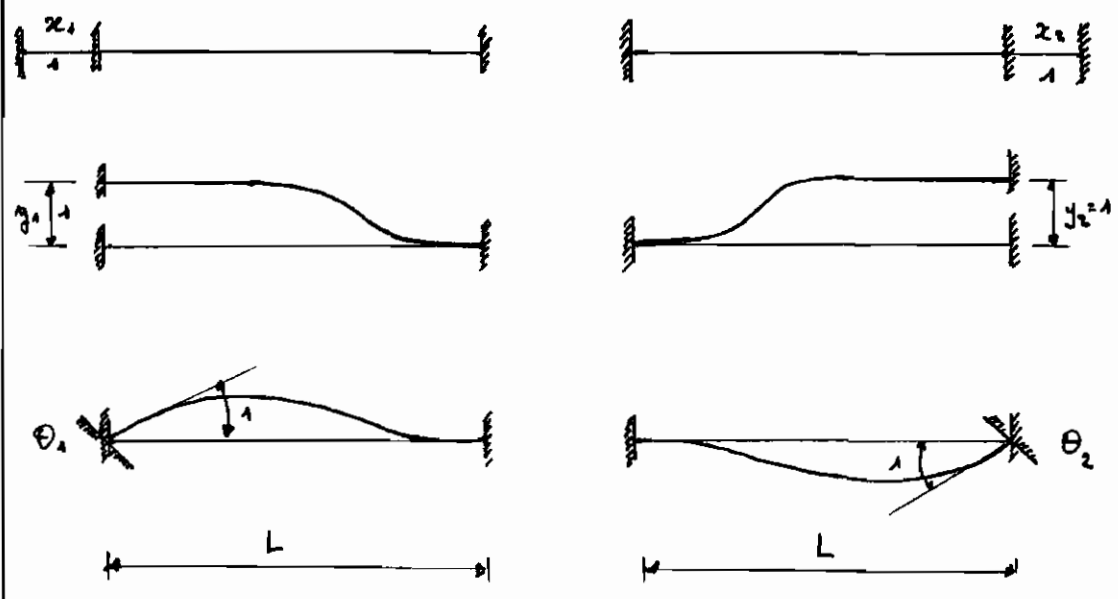
#### II.4.3.1 description de la méthode utilisée

La méthode des déplacements est choisie par rapport à la méthode des forces parce qu'elle est plus générale du fait de l'unicité de son système cinématique possible, ce qui la favorise pour la programmation.

Les équations fondamentales sont basées sur le principe de superposition.

La structure encastree est analysée par un (s) déplacement unitaire à l'endroit d'un degré de liberté alors que tous les autres déplacements sont considérés nuls.

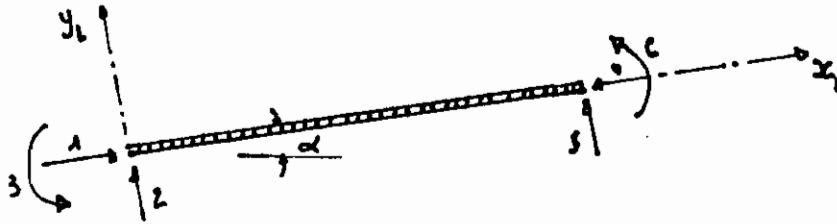
Voici donc les six déplacements unitaires que l'on va analyser et les forces nécessaires pour les causer seront groupées dans la matrice de rigidité.



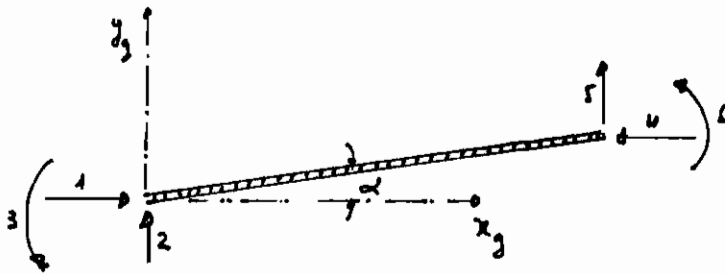
On effectuera  $x_1, y_1$  et  $\theta_1$  et on déduira  $x_2, y_2, \theta_2$   
 La matrice de rigidité lie les forces aux déplacements par  

$$\{F_L\} = [K_L] \times \{S_L\}$$

Dans notre cas les coordonnées de la structure seront données dans un repère cartésien avec l'axe  $x$  horizontal vers la droite et l'axe  $y$  vertical vers le haut. Alors que les coordonnées locales utiliseront l'axe de la membrane comme axe  $x$  et l'axe perpendiculaire comme axe  $y$ .



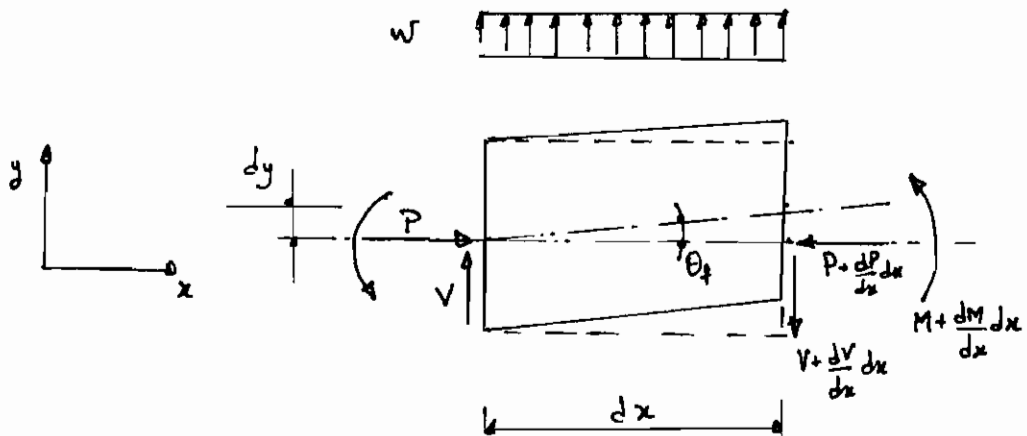
coordonnées locales (membrane)



coordonnées globales (structure)

### II.4.3.2. Les équations d'équilibre

Compte tenu de la théorie des éléments finis, considérons une portion de poutre de longueur  $dx$ , soumise à l'effort axial  $P$  et à un effort transversal  $w$



La déformée totale est donnée par  $\frac{dy}{dx} = \theta_f + \frac{V}{GA_s}$  (1)

pour l'instant l'effort axial  $P$  est considéré en compression  
l'équilibre vertical permet d'écrire pour  $\theta_f$  petit

$$V = V_1 + P \sin \theta_f = V_1 + P \theta_f$$

en remplaçant  $V$  dans l'équation (1)

on trouve  $\frac{dy}{dx} = \left(1 + \frac{P}{GA_s}\right) \theta_f + \frac{V_1}{GA_s}$

posons  $\psi = \frac{P}{GA_s}$  et dérivons l'équation précédente

on obtient alors  $\frac{d^2y}{dx^2} = (1 + \psi) \frac{d\theta_f}{dx}$

or la variation de rotation due à la flexion est proportionnelle  
au moment.

$$\frac{d\theta_f}{dx} = \frac{M}{EI} \quad \text{on trouve} \quad \frac{d^2y}{dx^2} = (1 + \psi) \frac{M}{EI} \quad (2)$$

d'équilibre des moments nous permet d'écrire que :

$$M = V_1 x + M_1 - P(y - y_1)$$

alors l'expression (2) devient

$$\frac{d^2y}{dx^2} + \frac{P(1+\psi)}{EI} y = \frac{(1+\psi)}{EI} (V_1 x + M_1 + P y_1)$$

en posant que  $\alpha = L \sqrt{\frac{P(1+\psi)}{EI}}$ , la solution de cette équation  
différentielle s'écrit

$$y = C_1 \cos \frac{\alpha x}{L} + C_2 \sin \frac{\alpha x}{L} + \frac{1}{P} (V_1 x + M_1 + P y_1) \quad (3)$$

et la rotation qui est la dérivée de la fleche devient

$$\frac{dy}{dx} = -\frac{\alpha}{L} C_1 \sin \frac{\alpha x}{L} + \frac{\alpha}{L} C_2 \cos \frac{\alpha x}{L} + \frac{V}{P} \quad (4)$$

$$\begin{matrix} \text{ou} \\ \{F_i\} = \end{matrix}
 \begin{bmatrix} V_1 \\ M_1 \\ Y_2 \\ M_2 \end{bmatrix}, \quad [K_i] = \begin{bmatrix} k_{11} & k_{12} & k_{13} & k_{14} \\ k_{21} & k_{22} & k_{23} & k_{24} \\ k_{31} & k_{32} & k_{33} & k_{34} \\ k_{41} & k_{42} & k_{43} & k_{44} \end{bmatrix} \quad \text{et} \quad \{S_i\} = \begin{bmatrix} y_1 \\ \theta_1 \\ y_2 \\ \theta_2 \end{bmatrix}$$

et chaque terme  $k_{ij}$  de la matrice représente la force qui il faut appliquer dans la direction  $i$  de façon à produire un déplacement unitaire dans la direction  $j$  et un déplacement nul dans les autres directions.

### II.4.3.3 Les termes $k_{ij}$ de la matrice de rigidité

Les conditions aux extrémités pour l'élément soumis à des déplacements unitaires  $y_1, y_2, \theta_1, \theta_2$ , nous permettront de déterminer les constantes d'intégration  $C_1$  et  $C_2$  de l'équation (3) et de déduire les termes  $k_{ij}$  de la matrice de rigidité

#### \* déplacement $y_1$

$$(1) \theta_f = 0 \quad \text{et} \quad x = 0$$

$$(2) \theta_f = 0 \quad \text{et} \quad x = L$$

$$(3) y = 0 \quad \text{et} \quad x = L$$

on évalue donc  $C_1$  et  $C_2$  de l'équation (3)

$$C_1 = \frac{V_1 L}{P\alpha} \times \frac{(1+\psi)(1-\cos\alpha)}{\sin\alpha}$$

$$C_2 = -\frac{V_1 L}{P\alpha} (1+\psi)$$

on tire

$$k_{11} = \frac{EI}{L^3} \frac{\alpha^3 \sin\alpha}{(1+\psi)} \times \frac{1}{D}$$

$$k_{21} = -\frac{EI}{L^2} \alpha^2 (1-\cos\alpha) \times \frac{1}{D}$$

$$k_{31} = -\frac{EI}{L^3} \frac{\alpha^3 \sin\alpha}{(1+\psi)} \times \frac{1}{D}$$

$$k_{41} = -\frac{EI}{L^2} \alpha^2 (1-\cos\alpha) \times \frac{1}{D}$$

$$\text{avec} \quad D = 2(1+\psi)(1-\cos\alpha) - \alpha \sin\alpha$$

\* notation  $\theta_1$

$$(1) \quad y = 0 \quad \text{et} \quad x = 0$$

$$(2) \quad y = 0 \quad \text{et} \quad x = L$$

$$(3) \quad \theta_f = 0 \quad \text{et} \quad x = L$$

on tire alors

$$C_1 = -\frac{M_1}{P}$$

$$C_2 = -\frac{1}{P \sin \alpha} [M_1 (1 - \cos \alpha) + V_1 L]$$

et finalement

$$k_{21} = -\frac{EI}{L^2} \alpha^2 (1 - \cos \alpha) \quad \times \frac{1}{D}$$

$$k_{22} = \frac{EI}{L} \alpha [(1 + \psi) \sin \alpha - \alpha \cos \alpha] \times \frac{1}{D}$$

$$k_{32} = \frac{EI}{L^2} \alpha^2 (1 - \cos \alpha) \quad \times \frac{1}{D}$$

$$k_{42} = \frac{EI}{L} \alpha [\alpha - (1 + \psi) \sin \alpha] \times \frac{1}{D}$$

avec  $D = 2(1 + \psi)(1 - \cos \alpha) - \alpha \sin \alpha$

\* déplacement  $y_2$

D'après le théorème de Maxwell-Betti pour la pyramiticité de la matrice de flexibilité :  $f_{ij} = f_{ji}$ , nous pouvons en déduire pour la matrice de rigidité dont les facteurs sont les inverses des facteurs de flexibilité que :

$$k_{ij} = k_{ji}$$

on tire ainsi  $k_{13}$ ,  $k_{23}$ ,  $k_{33}$  et  $k_{43}$

finalement  $k_{13} = -\frac{EI}{L^3} \frac{\alpha^3 \sin \alpha}{(1+\psi)} \times \frac{1}{D}$

$$k_{23} = \frac{EI}{L^2} \alpha^2 (1 - \cos \alpha) \times \frac{1}{D}$$

$$k_{33} = \frac{EI}{L^3} \frac{\alpha^3 \sin \alpha}{(1+\psi)} \times \frac{1}{D}$$

$$k_{43} = \frac{EI}{L^2} \alpha^2 (1 - \cos \alpha) \times \frac{1}{D}$$

### \* rotation $\theta_2$

Dans la même logique nous déduisons aussi que

$$k_{14} = -\frac{EI}{L^2} \alpha^3 (1 - \cos \alpha) \times \frac{1}{D}$$

$$k_{24} = \frac{EI}{L} \alpha [\alpha - (1+\psi) \sin \alpha] \times \frac{1}{D}$$

$$k_{34} = \frac{EI}{L^2} \alpha^2 (1 - \cos \alpha) \times \frac{1}{D}$$

$$k_{44} = \frac{EI}{L} \alpha [(1+\psi) \sin \alpha - \alpha \cos \alpha] \times \frac{1}{D}$$

### II.4.3.4 Coefficients de rigidité flexionnelle

Les termes  $k_{ij}$  de la matrice de rigidité peuvent tous s'exprimer, comme une expression algébrique en  $\sin \alpha$  et  $\cos \alpha$  affectée d'un facteur  $\frac{EI}{L}$ ,  $\frac{EI}{L^2}$  ou  $\frac{EI}{L^3}$ .

#### II.4.3.4.1 force axiale de compression

En posant

$$\psi = \frac{P}{GA_0} \quad \text{et} \quad \alpha = L \sqrt{\frac{P(1+\psi)}{2EI}}$$

avec  $D = 2(1+\psi)(1 - \cos \alpha) - \alpha \sin \alpha$

$$\begin{aligned}
 \text{on obtient} \quad \Phi_1 &= \alpha [(1+\psi) \sin \alpha - \alpha \cos \alpha] & \times \frac{1}{D} \\
 \Phi_2 &= \alpha [\alpha - (1+\psi) \sin \alpha] & \times \frac{-1+\psi}{D} \\
 \Phi_3 &= \alpha^2 [1 - \cos \alpha] & \times \frac{-1+\psi}{D} \\
 \Phi_4 &= \frac{\alpha^3 \sin \alpha}{(1+\psi)} & \times \frac{1}{D}
 \end{aligned}$$

#### II.4.3.4.2 force axiale en traction

L'application de cet effet axial tendra à augmenter la raideur de cette poutre, en substituant  $-P$  par  $P$  dans les expressions précédentes,

$$\text{On a alors } \alpha_t = L \sqrt{\frac{-P(1+\psi)}{EI}} = i \alpha \quad \text{où } i = \sqrt{-1}$$

il en découle que

$$\sin \alpha_t = \sin i \alpha = -\frac{1}{i} \sinh \alpha$$

$$\cos \alpha_t = \cos i \alpha = \cosh \alpha$$

on obtient, ainsi pour un élément tendu.

$$\Phi_1 = -\alpha [(1+\psi) \sinh \alpha - \alpha \cosh \alpha] \times \frac{1}{D}$$

$$\Phi_2 = -\alpha [\alpha - (1+\psi) \sinh \alpha] \times \frac{1}{D}$$

$$\Phi_3 = -\alpha^2 [1 - \cosh \alpha] \times \frac{1}{D}$$

$$\Phi_4 = \frac{\alpha^3 \sinh \alpha}{1+\psi} \times \frac{1}{D}$$

$$\text{avec } D = 2(1+\psi)(1 - \cosh \alpha) + \alpha \sinh \alpha$$

#### II.4.3.4.3 force axiale nulle

On déterminera les coefficients  $\Phi_1, \Phi_2, \Phi_3$  et  $\Phi_4$  en faisant tendre  $P$  vers zéro.

$$\text{si } P \rightarrow 0 \text{ alors } \alpha \rightarrow 0$$

$$\text{ sachant que } \psi = \frac{P}{GA_0} \text{ et } \alpha = L \sqrt{\frac{|P|(1+\psi)}{EI}}$$



on tire ensuite  $\psi(1+\psi) = \frac{\alpha^2 \phi}{12}$

En négligeant les termes du second ordre, dans, cette équation quadratique.

On obtient alors  $\psi = \frac{\alpha^2 \phi}{12}$

finallement les coefficients  $\phi_1, \phi_2, \phi_3$  et  $\phi_4$  sont déduits en appliquant quatre fois le théorème de l'Hospital pour lever l'indétermination.

$$\Phi_1 = \frac{4 + \phi}{1 + \phi}$$

$$\Phi_2 = \frac{2 - \phi}{1 + \phi}$$

$$\Phi_3 = \frac{6}{1 + \phi}$$

$$\Phi_4 = \frac{12}{1 + \phi}$$

avec  $\bar{\Phi} = \frac{12 EI}{GA_D L^2}$

Coeff	P: 0	P: Compression	P: traction
$\Phi_1$	$\frac{4 + \Phi}{1 + \Phi}$	$\alpha[(1+\psi)\sinh\alpha - \alpha\cosh\alpha] \times \frac{1}{D}$	$-\alpha[(1+\psi)\sinh\alpha - \alpha\cosh\alpha] \times \frac{1}{D}$
$\Phi_2$	$\frac{2 - \phi}{1 + \phi}$	$\alpha[\alpha - (1+\psi)\sinh\alpha] \times \frac{1}{D}$	$-\alpha[\alpha - (1+\psi)\sinh\alpha] \times \frac{1}{D}$
$\Phi_3$	$\frac{6}{1 + \phi}$	$\alpha^2(1 - \cos\alpha) \times \frac{1}{D}$	$-\alpha^2(1 - \cosh\alpha) \times \frac{1}{D}$
$\Phi_4$	$\frac{12}{1 + \phi}$	$\frac{\alpha^3 \sinh\alpha}{1 + \psi} \times \frac{1}{D}$	$\frac{\alpha^3 \sinh\alpha}{1 + \psi} \times \frac{1}{D}$
D		$2(1+\psi)(1 - \cos\alpha) - \alpha \sinh\alpha$	$2(1+\psi)(1 - \cosh\alpha) + \alpha \sinh\alpha$

avec  $\alpha = L \sqrt{\frac{|P|(1+\psi)}{EI}}$

$$\bar{\Phi} = \frac{12 EI}{GA_D L^2}$$

$$\psi = \frac{\alpha^2 \Phi}{12}$$

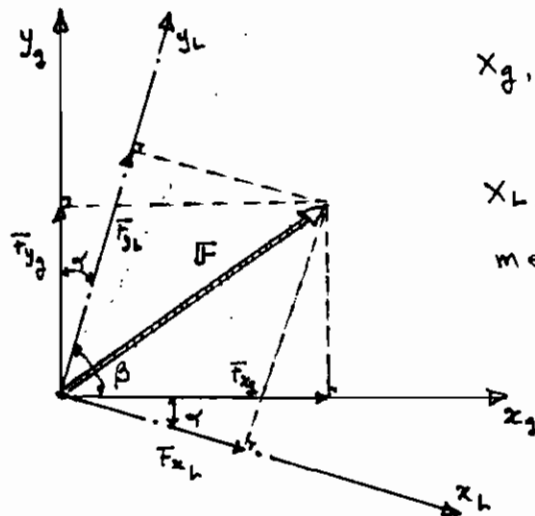
### II.4.3.5 Matrice de rigidité d'une poutre bidimensionnelle en flexion composée

Cette matrice de rigidité élémentaire définie dans le système local, tient compte de la fois de l'effet de cisaillement et de l'effet P. delta.

$$\begin{bmatrix} P_1 \\ V_1 \\ M_1 \\ P_2 \\ V_2 \\ M_2 \end{bmatrix} = \begin{bmatrix} \frac{EA}{L} & 0 & 0 & -\frac{EA}{L} & 0 & 0 \\ 0 & \frac{EI}{L^3} \Phi_4 & -\frac{EI}{L^2} \Phi_3 & 0 & -\frac{EI}{L^3} \Phi_4 & -\frac{EI}{L^2} \Phi_3 \\ 0 & -\frac{EI}{L^2} \Phi_3 & \frac{EI}{L} \Phi_1 & 0 & \frac{EI}{L^2} \Phi_3 & \frac{EI}{L} \Phi_2 \\ -\frac{EA}{L} & 0 & 0 & \frac{EA}{L} & 0 & 0 \\ 0 & -\frac{EI}{L^3} \Phi_4 & \frac{EI}{L^2} \Phi_3 & 0 & \frac{EI}{L^3} \Phi_4 & \frac{EI}{L^2} \Phi_3 \\ 0 & -\frac{EI}{L^2} \Phi_3 & \frac{EI}{L} \Phi_2 & 0 & \frac{EI}{L^2} \Phi_3 & \frac{EI}{L} \Phi_1 \end{bmatrix} \times \begin{bmatrix} X_1 \\ Y_1 \\ \theta_1 \\ X_2 \\ Y_2 \\ \theta_2 \end{bmatrix}$$

Notons que la matrice de rigidité est symétrique par rapport à sa diagonale.

### II.4.3.6 Transformation des Coordonnées



$X_g, Y_g$  : axes globaux de la structure

$X_l, Y_l$  : axes locaux de la membrure considérée

$\alpha$  : angle d'inclinaison mesuré de  $x_g$  vers  $x_L$ , est positif si le sens considéré est horaire.

La matrice de rotation qui permet un passage direct des coordonnées locales aux coordonnées globales sera déterminée par :

$$\begin{bmatrix} F_{xL} \\ F_{yL} \end{bmatrix} = \begin{bmatrix} \cos \alpha + \sin \alpha \\ -\sin \alpha + \cos \alpha \end{bmatrix} \times \begin{bmatrix} F_{xg} \\ F_{yg} \end{bmatrix}$$

qui peut s'écrire

$$[F_L] = [R] \times [F_g]$$

où  $R$  : matrice de rotation orthogonale

puisque les petits déplacements peuvent être traités comme des vecteurs aussi bien que les forces, on peut écrire pour les déplacements

$$[D_L] = [R] \times [D_g]$$

exprimons les forces en fonction des déplacements

$$\text{on obtient } [F_g] = [R^T] \times [k_L] \times [R] \times [D_g]$$

en posant

$$k_s = [R^T] \times [k_L] \times [R]$$

où  $k_s$  représente la matrice de rigidité d'une membrure inclinée rapportée dans le système global de coordonnées.

On peut écrire que

$$\cos \alpha = \frac{x_j - x_i}{L} \quad \text{et} \quad \sin \alpha = \frac{y_j - y_i}{L}$$

avec

$$L = \sqrt{(x_j - x_i)^2 + (y_j - y_i)^2}$$

pour simplifier les expressions de la matrice, posons

$$\cos \alpha = c \quad \text{et} \quad \sin \alpha = s$$

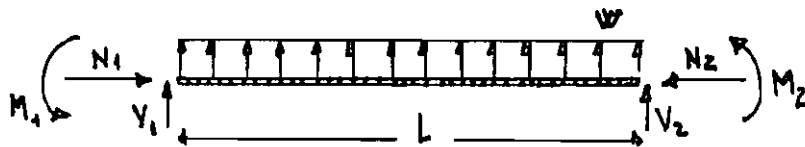


## II.4.4 Chargements en travée

Les degrés de liberté utilisés sont des translations et des rotations des nœuds d'extrémité des éléments. Donc tout chargement doit être exprimé en termes de charges équivalentes aux nœuds.

Nous considérons successivement deux cas de chargement en travée : une charge transversale uniformément répartie, et au maximum trois charges transversales ponctuelles appliquées simultanément.

### II.4.4.1 Chargement d'extrémité équivalent à une charge uniformément distribuée. $w$



La question revient donc à déterminer les efforts d'encastement parfait pour une poutre soumise à une charge axiale et à une charge transversale uniformément répartie.

La procédure suivie, consiste à analyser d'abord le comportement de la poutre sur appuis simples pour le chargement considéré, et d'en déduire les rotations  $\theta_1$  et  $\theta_2$ . Ensuite les moments  $M_1$  et  $M_2$  qu'il faudra appliquer pour annuler ces rotations, sont déterminés à l'aide de la matrice de rigidité élémentaire de la poutre.

L'équilibre vertical nous donne

$$V_1 = V_2 = -\frac{wL}{2}$$

Compte tenu des relations précédentes, l'équation du déplacement vertical  $y$  sous forme différentielle s'écrit

$$\frac{d^2 y}{dx^2} + \frac{P(1+\psi)}{EI} y = \frac{(1+\psi)}{EI} \left[ -\frac{wL}{2} x + \frac{wx^2}{2} - \frac{wL^2}{\alpha^2} (1+\psi) \right]$$

avec  $\alpha = L \sqrt{\frac{|P|(1+\psi)}{EI}}$  la solution est

$$y = C_1 \cos \frac{\alpha x}{L} + C_2 \sin \frac{\alpha x}{L} + \frac{1}{P} \left[ -\frac{wL}{2} + \frac{wx^2}{2} - \frac{wL^2}{\alpha^2} (1+\psi) \right]$$

Et la dérivée de la flèche donne la rotation qui s'écrit

$$\frac{dy}{dx} = -\frac{\alpha}{L} C_1 \sin \frac{\alpha x}{L} + \frac{\alpha}{L} C_2 \cos \frac{\alpha x}{L} + \frac{1}{P} \left[ -\frac{wL}{2} + wx \right]$$

Les constantes d'intégration sont évaluées à partir des conditions d'extrémité.

$$C_1 = \frac{w}{P} \cdot \frac{L^2}{\alpha^2} (1+\psi)$$

$$C_2 = \frac{w}{P} \frac{L^2}{\alpha^2} \frac{(1+\psi)(1-\cos \alpha)}{\sin \alpha}$$

La rotation due à la flexion au nœud 1 devient

$$\theta_1 = \frac{wL}{2P} - \frac{wL}{P\alpha} \frac{1-\cos \alpha}{\sin \alpha}$$

par la symétrie, nous avons

$$\theta_2 = -\theta_1$$

Dans la matrice de rigidité élémentaire si  $y_1 = y_2 = 0$ , les moments d'extrémité  $M_1$  et  $M_2$  s'écrivent

$$M_1 = -\frac{EI}{L} (\theta_1 \Phi_1 + \theta_2 \Phi_2)$$

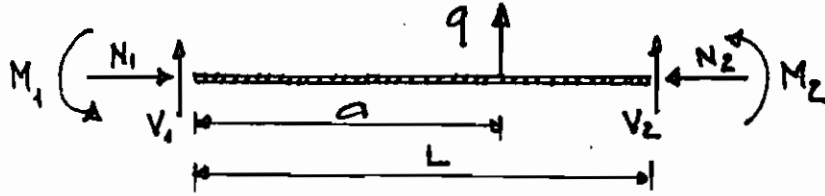
$$M_2 = -\frac{EI}{L} (\theta_1 \Phi_2 + \theta_2 \Phi_1)$$

Après quelques substitutions, l'on obtient les expressions suivantes pour une charge axiale nulle, en compression ou en traction.

	P: 0	P: Compression	P: traction
$M_1$	$\frac{wL^2}{12}$	$\frac{wL^2}{\alpha^2} (1+\psi) \left[ 1 - \frac{\alpha}{2 \tanh(\frac{\alpha}{2})} \right]$	$\frac{wL^2}{\alpha^2} (1+\psi) \left[ \frac{\alpha}{2 \tanh(\frac{\alpha}{2})} - 1 \right]$

### II.4.42 Chargement d'extrémité équivalent à une charge ponctuelle $q$

Nous considérons pour cette étude une poutre charge concentrée  $q$ , appliquée à une distance  $a$  de l'extrémité gauche



nous pouvons écrire que

$$* \text{ pour } x \leq a \quad V_2 = -q \frac{(L-a)}{L}$$

et ensuite nous avons cette équation

$$\frac{d^2 y_A}{dx^2} + \frac{P(1+\psi)}{EI} y_A = \frac{(1+\psi)}{EI} \left[ -q \times \frac{(L-a)}{L} \cdot x \right]$$

dont la solution est

$$y_A = C_1 \cos \frac{\alpha x}{L} + C_2 \sin \frac{\alpha x}{L} - \frac{q}{P} \frac{(L-a)}{L} x$$

Et la rotation  $\theta$  s'obtient en dérivant la flèche

$$\frac{dy_A}{dx} = -\frac{\alpha}{L} C_1 \sin \frac{\alpha x}{L} + \frac{\alpha}{L} C_2 \cos \frac{\alpha x}{L} - \frac{q}{P} \frac{(L-a)}{L}$$

$$* \text{ pour } x \geq a \quad V_2 = \frac{qa}{L}$$

finalement

$$\frac{d^2 y_B}{dx^2} + \frac{P(1+\psi)}{EI} y_B = \frac{(1+\psi)}{EI} \frac{qa}{L} (x-L)$$

dont la solution s'écrit

$$y_B = C'_1 \cos \frac{\alpha x}{L} + C'_2 \sin \frac{\alpha x}{L} + \frac{q}{P} (x-L) \frac{a}{L}$$

et alors la rotation  $\theta$  s'obtient

$$\frac{dy_B}{dx} = -\frac{\alpha}{L} C'_1 \sin \frac{\alpha x}{L} + \frac{\alpha}{L} C'_2 \cos \frac{\alpha x}{L} + \frac{qa}{PL}$$

Finallement les constantes d'intégration sont déduites des conditions de frontière.

$$C_1 = 0$$

$$C_2 = \frac{qL}{P\alpha} (1+\psi) \left( \cos \frac{\alpha a}{L} - \sin \frac{\alpha a}{L} \cot \alpha \right)$$

$$C'_1 = \frac{qL}{P\alpha} (1+\psi) \sin \frac{\alpha a}{L}$$

$$C'_2 = -\frac{qL}{P\alpha} (1+\psi) \sin \frac{\alpha a}{L} \cot \alpha$$

Après quelques substitutions, nous nous sommes limités uniquement au calcul des rotations  $\theta_1$  et  $\theta_2$ , vu la complexité des expressions explicites pour les moments  $M_1$  et  $M_2$ .

\* force axiale nulle

$$\theta_1 = \frac{q(L-a)}{6EI L} (a^2 - 2aL)$$

$$\theta_2 = \frac{qa}{6EI L} (L^2 - a^2)$$

\* force axiale de compression

$$\theta_1 = \frac{q}{P} \left[ \frac{L-a}{L} - \frac{\sin\left(\frac{\alpha(L-a)}{L}\right)}{\sin \alpha} \right]$$

$$\theta_2 = \frac{q}{P} \left[ -\frac{a}{L} + \frac{\sin \frac{\alpha a}{L}}{\sin \alpha} \right]$$

\* force axiale de traction

$$\theta_1 = -\frac{q}{|P|} \left[ \frac{L-a}{L} - \frac{\sinh\left(\frac{\alpha(L-a)}{L}\right)}{\sinh \alpha} \right]$$

$$\theta_2 = -\frac{q}{|P|} \left[ -\frac{a}{L} - \frac{\sinh \frac{\alpha a}{L}}{\sinh \alpha} \right]$$



## CHAPITRE III

### STRUCTURE du PROGRAMME

## — STRUCTURE du Programme —

### II. 1 Généralités

Le FORTRAN 77 demeure le langage le plus utilisé pour l'implantation sur ordinateur d'un programme des applications scientifiques, techniques et statistiques etc.

De souci d'obtenir une configuration structurée du programme combiné avec la capacité limitée de la mémoire, nous ont imposé de fractionner le programme principal en plusieurs sous-routines. La Capacité mémoire est ainsi répartie :

- \* 13 K octets pour la matrice de rigidité élémentaire
- \* 19.25 K octets pour le fichier source c'est à dire du programme principal (projet 428. f)
- \* 82 K octets pour le fichier objet (a. out)

### III. 2 mode d'emploi

La procédure à suivre pour accéder au programme en Fortran 77 dans le microméga se passe comme un dialogue entre l'utilisateur et le microméga. Il suffit d'abord de le mettre en marche en appuyant le bouton placé derrière le boîtier et de suivre les instructions suivantes :

- \* microméga : 'entrez votre nom d'utilisateur et appuyez sur <RETOUR>
- \* utilisateur : ept 428
- \* microméga : 'entrez votre mot de passe et appuyez sur <RETOUR>
- \* utilisateur : adjiss (ceci n'apparaîtra sur l'écran)
- \* microméga : \$
- \* utilisateur : SC projet 428. f

Le listing du programme principal apparaît ainsi sur l'écran. Pour le passer en mémoire centrale, il suffit d'appuyer sur la touche E (exit) et ensuite sur la touche U (update); et \$ f77 projet 428. f pour compiler.

### III-3 Assemblage des éléments

#### III-3.1 Formation de la matrice globale de la structure

Après avoir confectionné la matrice globale de chaque élément, il est important de constituer la matrice globale de la structure entière. Ainsi trois principales approches ont été développées à savoir :

- \* L'approche matricielle pour les structures à membrures horizontales ou verticales, qui est bien systématisée et très adaptée à la programmation sur ordinateur;

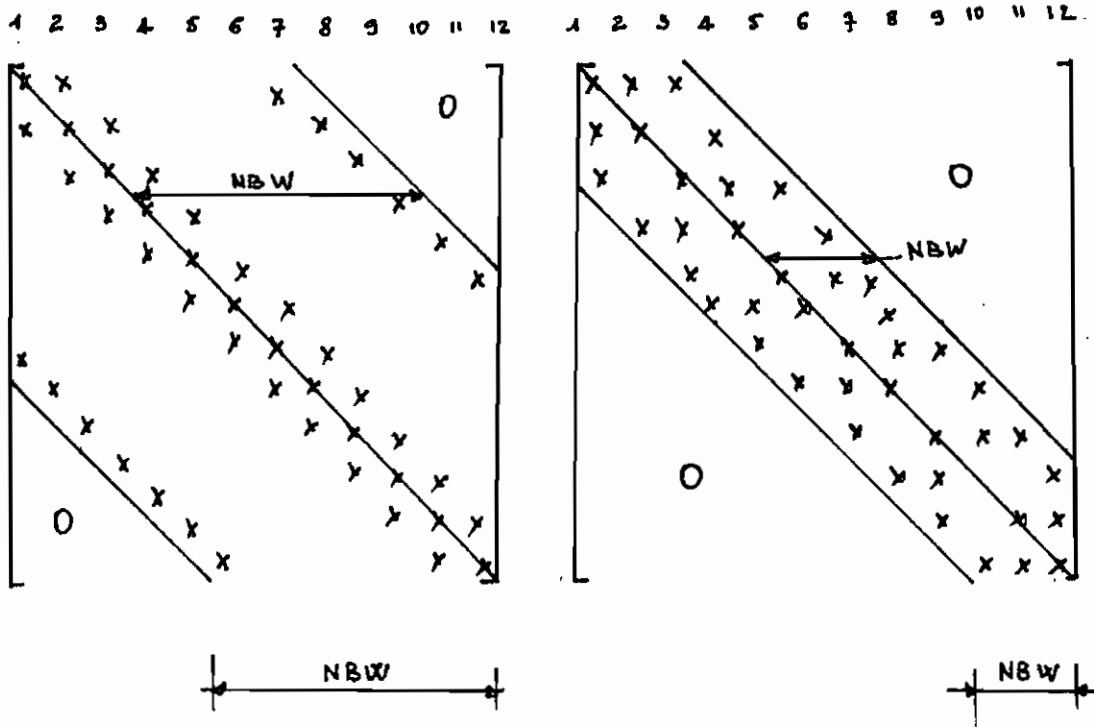
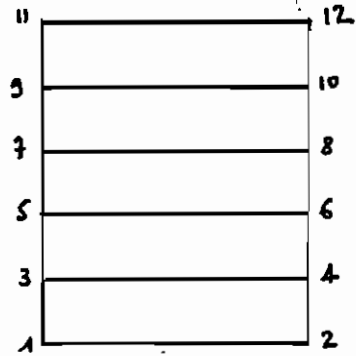
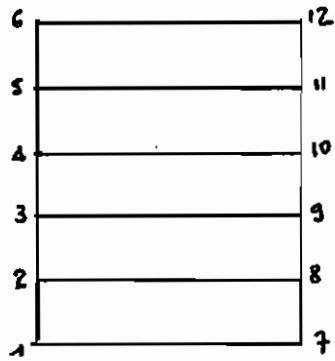
- \* L'approche par inspection pour les structures simples. Dans ce cas, lorsqu'il y a des membrures inclinées, la décomposition des forces se faisait directement sans passer par une matrice de transformation;

- \* Cette approche est aussi matricielle, mais elle utilise la matrice de rigidité transformée pour une membrure inclinée.

Cette troisième approche présente l'avantage d'être plus générale. Cependant tout se résume à une contribution individuelle de tous les éléments par rapport à une numérotation globale pour former la matrice de rigidité globale  $[KG]$  de toute la structure.

#### III-3.2 Matrices bandées

Dans une structure, si la numérotation des nœuds se fait intelligemment, les coefficients de rigidité flexionnelle de la matrice globale, de toute la structure, se trouvent très rapprochés de la diagonale principale.



Il est donc nécessaire de numérotier les nœuds de sorte que la largeur de bande NBW soit la plus petite possible nous avons

$$NBW = (|J_1 - J_2| + 1) * NDL$$

où  $J_1$  et  $J_2$  sont les nombres de nœuds d'un élément et  $NDL$  le nombre de degrés de liberté par nœud.

### III.3.3 Les appuis Rigides

Plusieurs méthodes ont été développées pour traiter les appuis rigides :

- \* faire l'assemblage uniquement des degrés de liberté non restreints. Mais cette procédure ne permet pas le calcul des réactions bien qu'elle réduit le nombre d'équations à assembler;

- \* Remplacer les rangées et colonnes correspondants aux déplacements  $\{\bar{\Delta}_s\}$  des supports, et ajouter une valeur unitaire à la diagonale. Cet algorithme a le désavantage à ne pas pouvoir calculer les réactions;

- \* Ajouter un très gros chiffre ( $R_0$ ) sur les diagonales correspondants aux ddl  $\{\bar{\Delta}_s\}$ . Cet algorithme est très simple et en plus permet le calcul des réactions.

Cette dernière procédure est très fonctionnelle avec le programme déjà mis par Fried.

### III.4 Solution des équations.

Il existe deux techniques pour la résolution des équations d'équilibre à savoir la méthode de Cholesky et la technique de Gauss.

Afin de pouvoir résoudre les équations aux déplacements, il faudrait fractionner les déplacements globaux  $\{\bar{\Delta}\}$  en deux groupes :

- \*  $\{\bar{\Delta}_s\}$  correspondants aux supports

- \*  $\{\bar{\Delta}_e\}$  correspondants aux degrés de liberté libres

La méthode Cholesky est applicable aux matrices symétriques positives définies, soit :  $\{\bar{D}\}^t [K] \{\bar{D}\} > 0$ . Elle consiste à décomposer la matrice  $[K]$  en deux matrices triangulaires. Après la décomposition, on effectue des opérations par le vecteur changement pour aboutir aux déplacements.

### III.4.1 Méthode Gauss par décomposition pour largeur de bande variable

Cette technique présente l'avantage d'être adaptée à la programmation, surtout si la largeur de bande est trop variable. Remarquons aussi les faits suivants :

- \* à chaque étape d'élimination, la sous-matrice demeure symétrique et on a besoin de la matrice triangulaire supérieure seulement ;
- \* les termes de la diagonale  $k_{ii}$  sont toujours positifs durant la décomposition ;
- \* la décomposition est indépendante du vecteur changement donc l'élimination de Gauss revient à réduire les coefficients de  $[K]$  en une matrice triangulaire supérieure indépendante du vecteur  $\{R\}$ .

on définit  $[S]$  comme étant le produit de deux matrices dont l'une est diagonale,

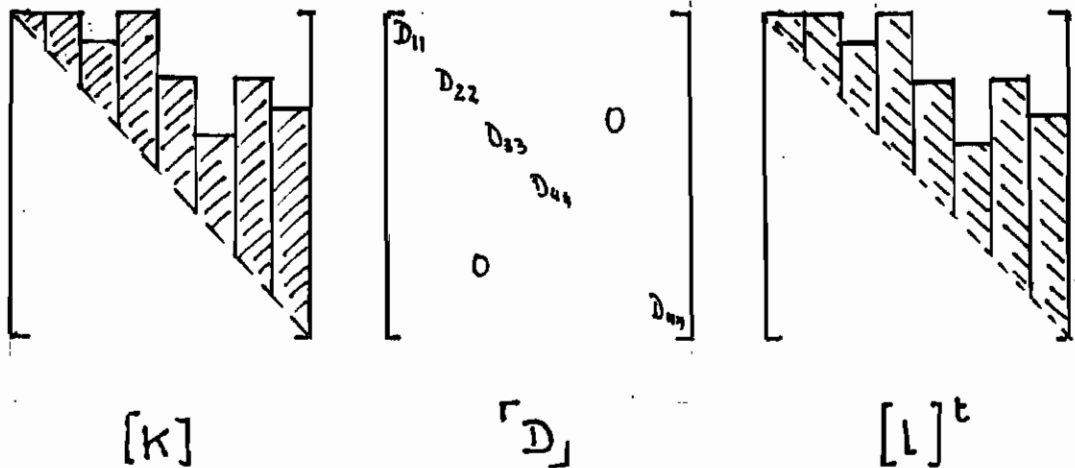
$$[S] = [D] [S]$$

où  $[K]$  et  $D$  sont symétriques

$$[K] = [L] [D] [L]^t$$

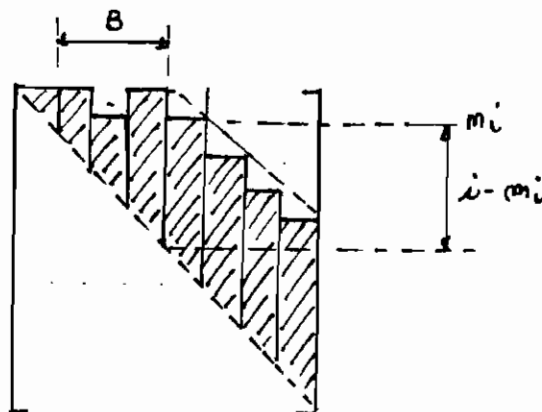
on remarque que le vecteur  $\{R\}$  n'intervient pas dans la triple décomposition.

L'avantage de la triple décomposition  $[L] \overline{D} [L]^t$  réside au fait que les termes à l'extérieur des "sommets des colonnes" deviennent nuls dans  $[L]^t$ .



La hauteur de chaque colonne est égale à  $i - m_i$  où  $i$  est le numéro de la colonne et  $m_i$  la rangée du premier terme non nul dans la colonne.

La largeur de bande  $B$  devient égale à  $\max(i - m_i)$



La sous-routine TRIPLD qui effectue la décomposition de la matrice de raideur n'est appelée qu'une seule fois et les termes de la matrice de raideur sont remplacés par  $\overline{D}$  et  $[L]^t$ . Ainsi on appelle la sous-routine SOL et les déplacements calculés remplacent le vecteur chargement.

### III.5 Rôle des sous-routines

\* La sous-routine RIGEL confectionne la matrice de rigidité globale de l'élément incluant l'effet P-delta

\* La sous-routine CALF calcule les valeurs des coefficients de rigidité flexionnelle  $f_{i1}$ ,  $f_{i2}$ ,  $f_{i3}$  et  $f_{i4}$  pour une force axiale nulle, de traction ou de compression.

\* La sous-routine CHARG calcule les charges équivalentes en bout de membrure pour une charge en travée uniforme  $W$ , et une charge concentrée  $Q$ , dans les systèmes local  $f_l$  et global  $f_g$ .

\* La sous-routine CMAXA établit les adresses diagonales de la matrice de rigidité afin d'évaluer l'espace nécessaire pour l'assemblage des éléments à l'intérieur de la mémoire.

\* La sous-routine ASSEMB effectue l'assemblage de matrices de rigidité élémentaires sous forme vectorielle dans la matrice de rigidité globale  $grk$ .

\* La sous-routine TRIPLD effectue la décomposition de la matrice de rigidité assemblée sous forme compacte.

\* La sous-routine PROP confectionne les propriétés des éléments

\* La sous-routine SOL permet de résoudre les équations compte tenu de la forme compacte de la matrice de rigidité.

\* La sous-routine ADRESS établit le vecteur des adresses diagonales de la matrice de rigidité



\* La sous-routine FORC calcule les efforts internes aux dixièmes de portée pour chaque membrure.

### III.4 Définition des paramètres

<u>nature</u>	<u>notation</u>
module d'élasticité	em
module d'élasticité transversal	g
longueur de l'élément	cl
force axiale	p
charge ponctuelle	q
charge uniforme	wc
aire effective de cisaillement	as
angle d'inclinaison	alf
cosinus et sinus directeur	cs, sn
moment d'inertie	ci
nombre d'éléments	nel
nombre de nœuds	nod
nombre de degrés de liberté	ndf
nombre de nœuds restreints	mnr
nombre d'éléments chargés concent	mele
nombre d'éléments chargés unifor	nelu
nombre de nœuds chargés	mnch
nombre de cas de chargement	icc
option pour l'analyse P-delta	ipd

### III. 7 Fonctionnement du programme

Le programme présente principalement une fonction double en ce sens qu'il effectue à la fois l'analyse linéaire de la structure et l'analyse non-linéaire en incluant l'effet P. delta en vue d'établir une étude comparative.

Les données générales de la structure sont d'abord lues et écrites, ainsi que les coordonnées des nœuds et les caractéristiques des éléments. Ensuite le programme effectue principalement:

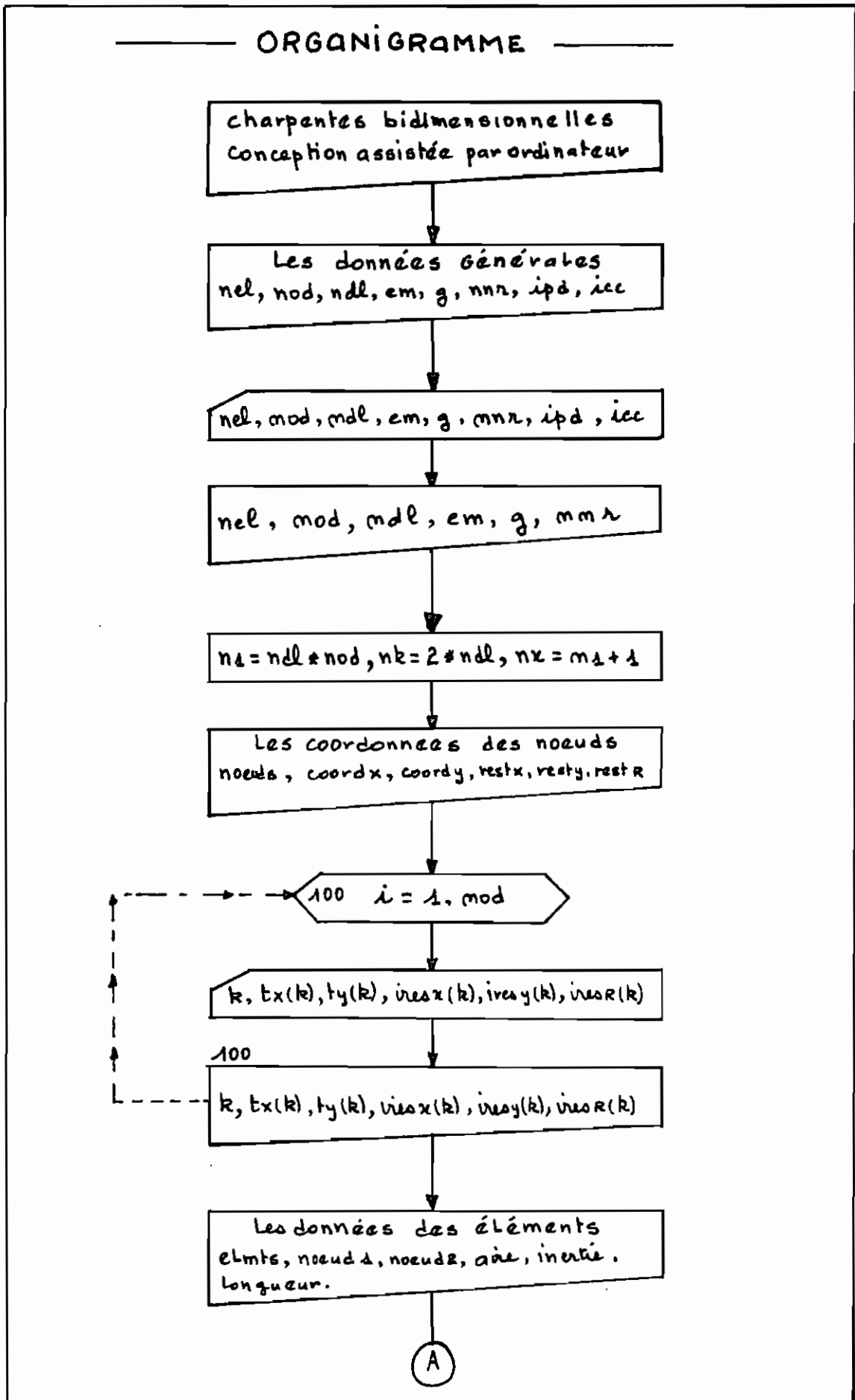
- \* La confection du vecteur chargement général de la structure
- \* Le calcul de la matrice de rigidité globale de la structure et de son assemblage;
- \* La résolution des équations aux déplacements;
- \* Le calcul des efforts internes en bout de membrures et aux dixièmes de portée;
- \* L'étude itérative pour la stabilité de la structure compte tenu de l'effet P. delta;
- \* Le calcul des réactions aux appuis.

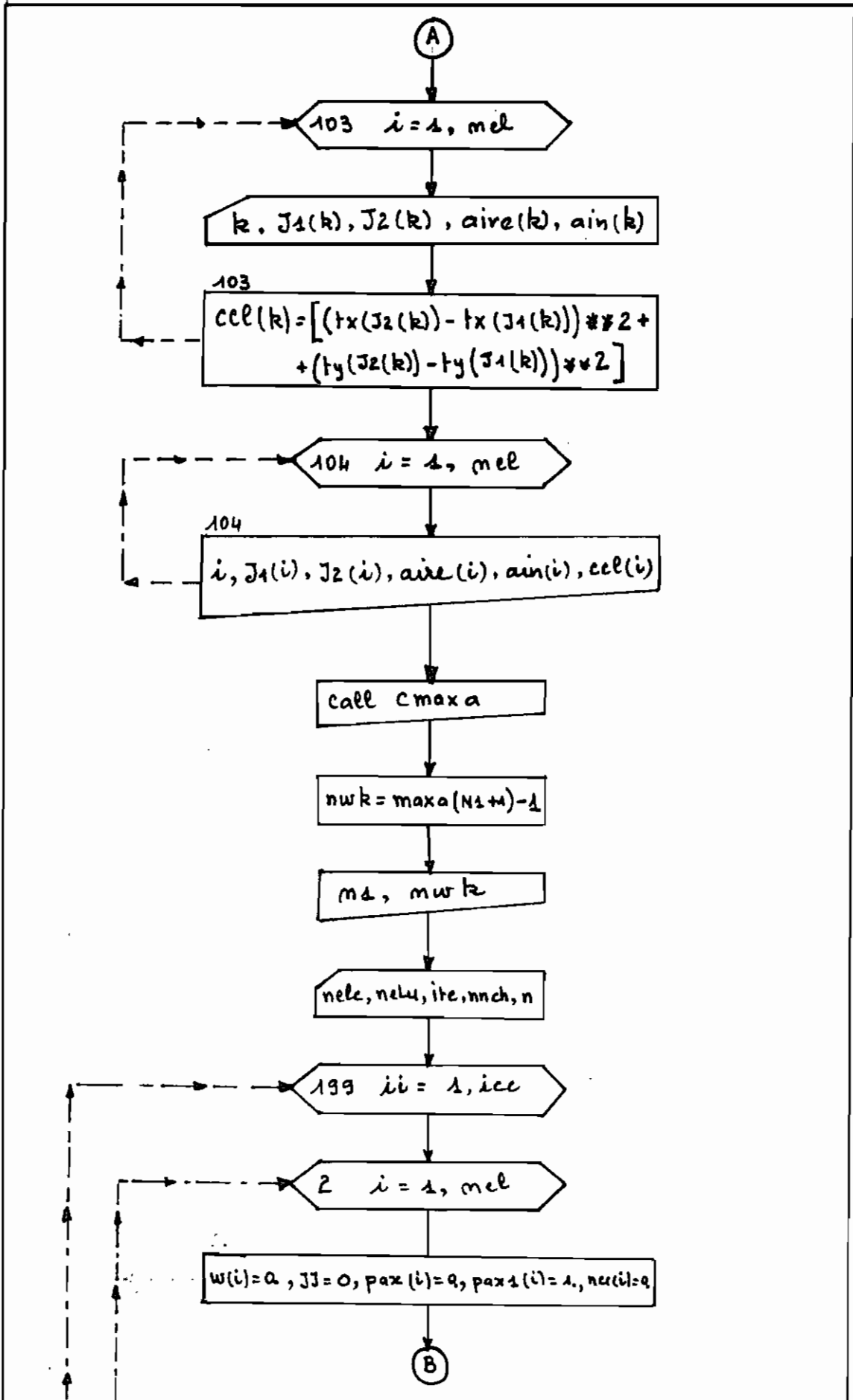
### III. 8 ORGANIGRAMME

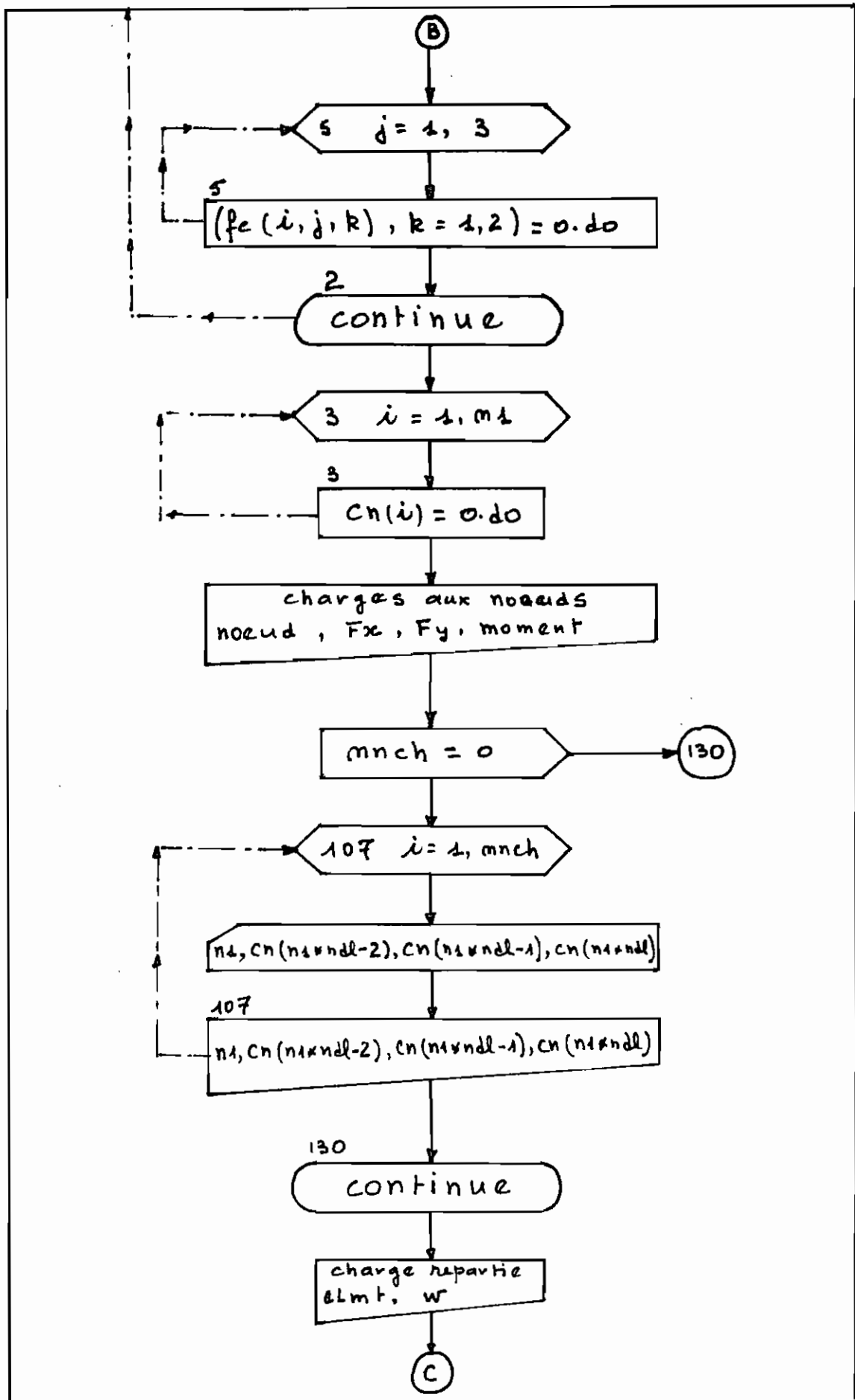
Dans les pages qui suivent sont présentés l'organigramme détaillé qui résume la logique des grandes lignes du programme principal. Cependant les différentes sous-routines n'ont pas été explicitées dans l'organigramme, sur leur importance, mais elles sont appelées là où il le faut.

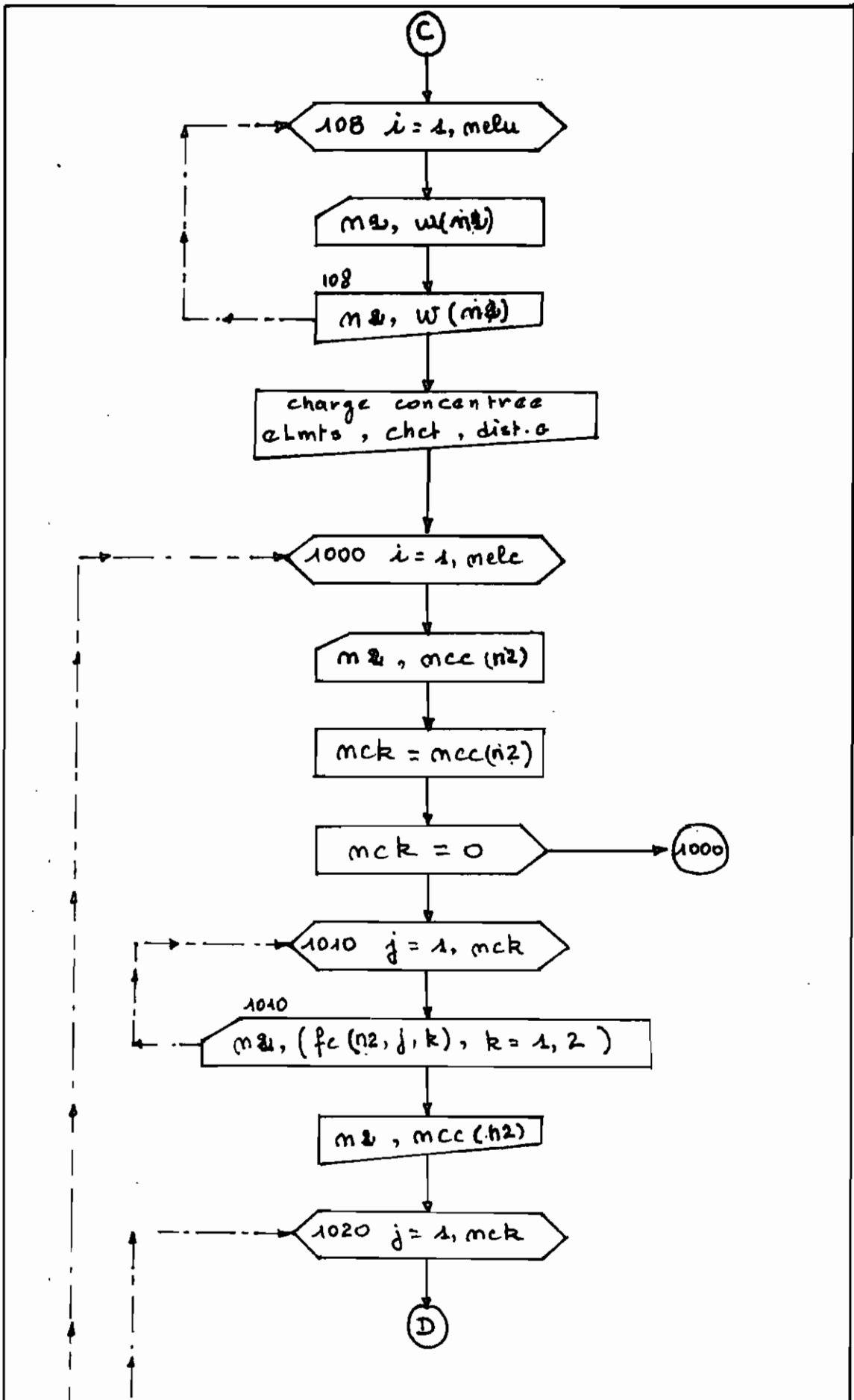
## les déclarations utilisées

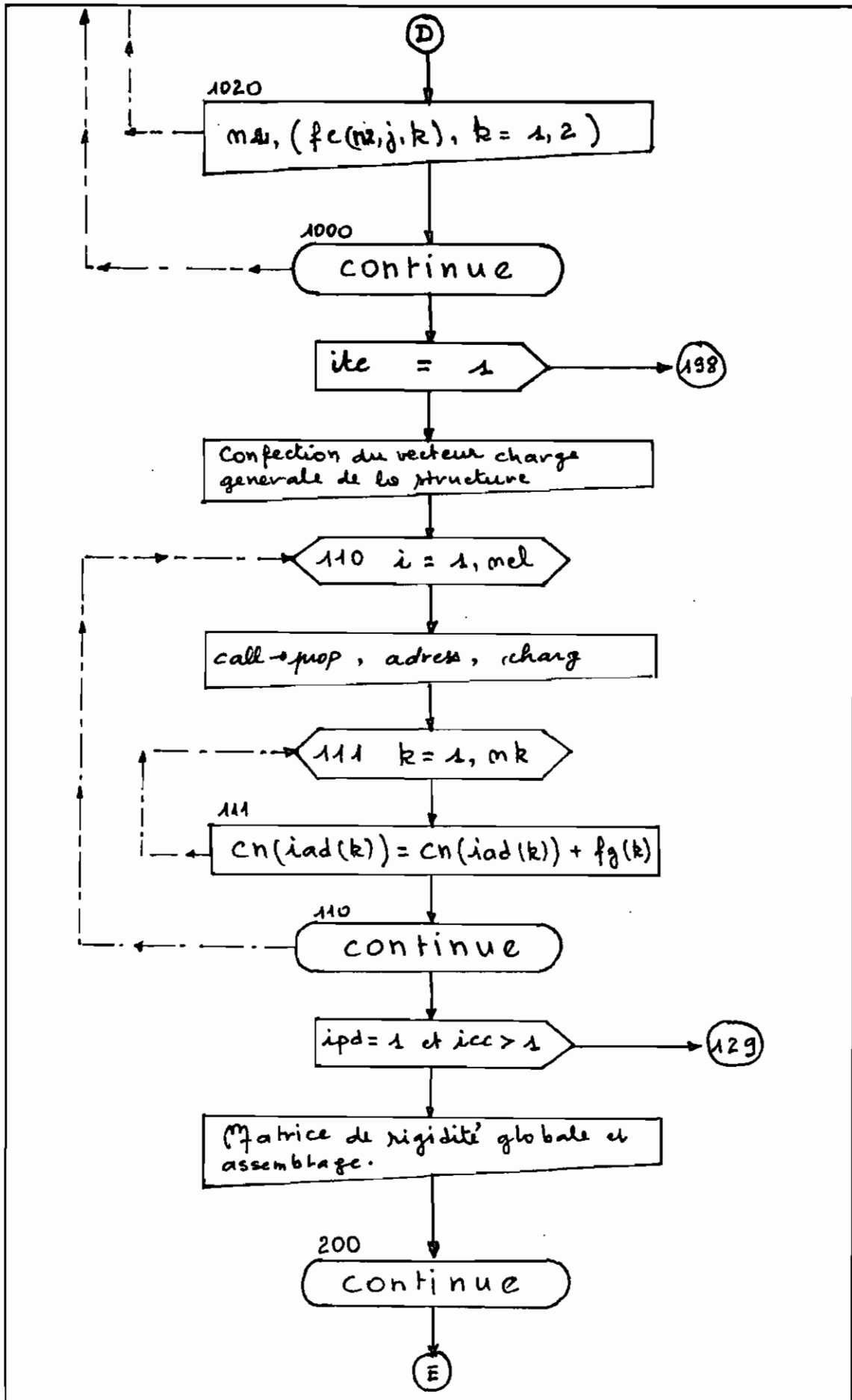
<u>type de déclaration</u>	<u>symbole</u>
a) entrée des données par lecture (read)	
b) sortie des données ou résultat écriture (print)	
c) attribution ou transfert	
d) Contrôle inconditionnel	
e) Contrôle conditionnel	
f) Contrôle de boucle	
g) Contrôle de fin de boucle	



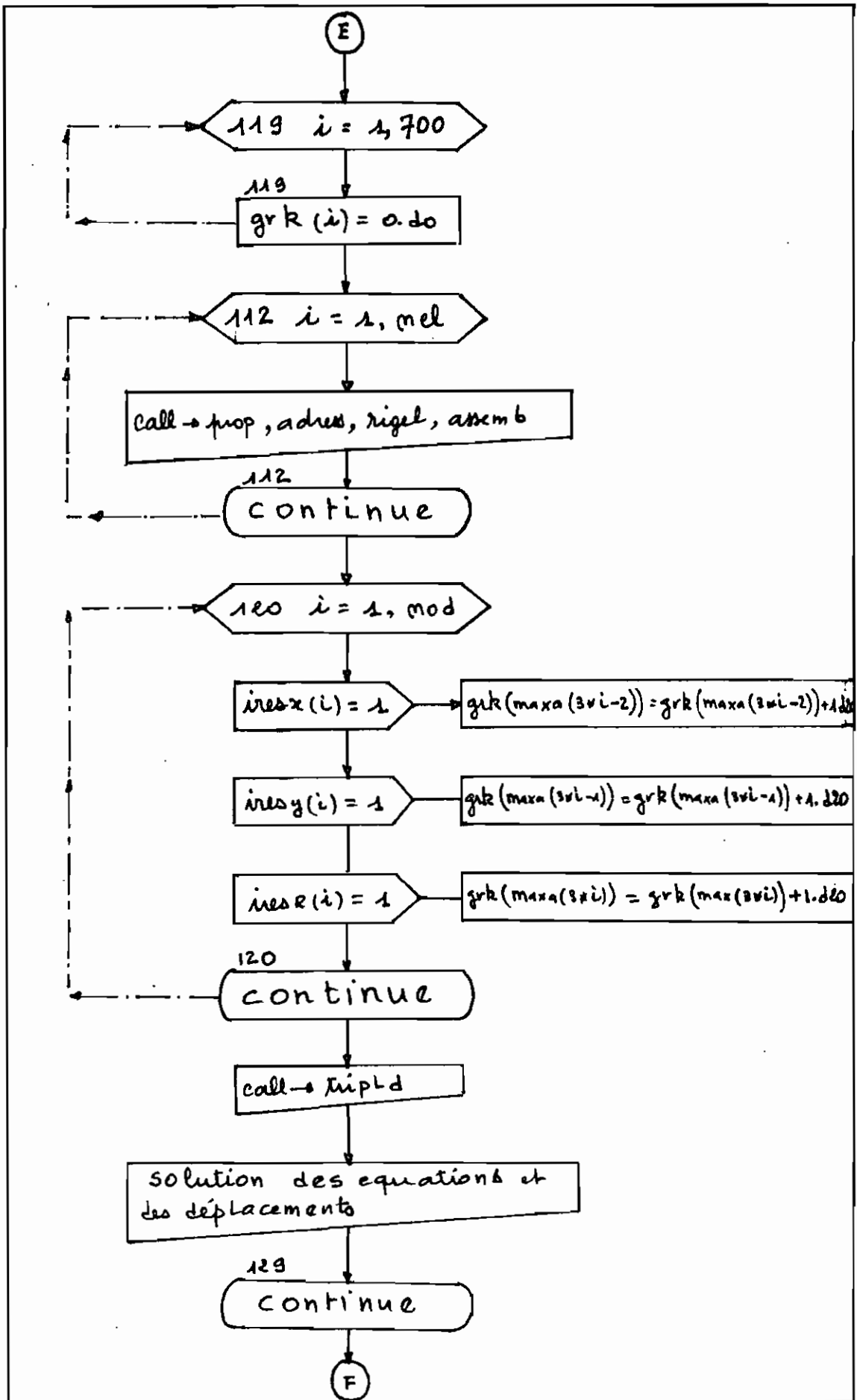


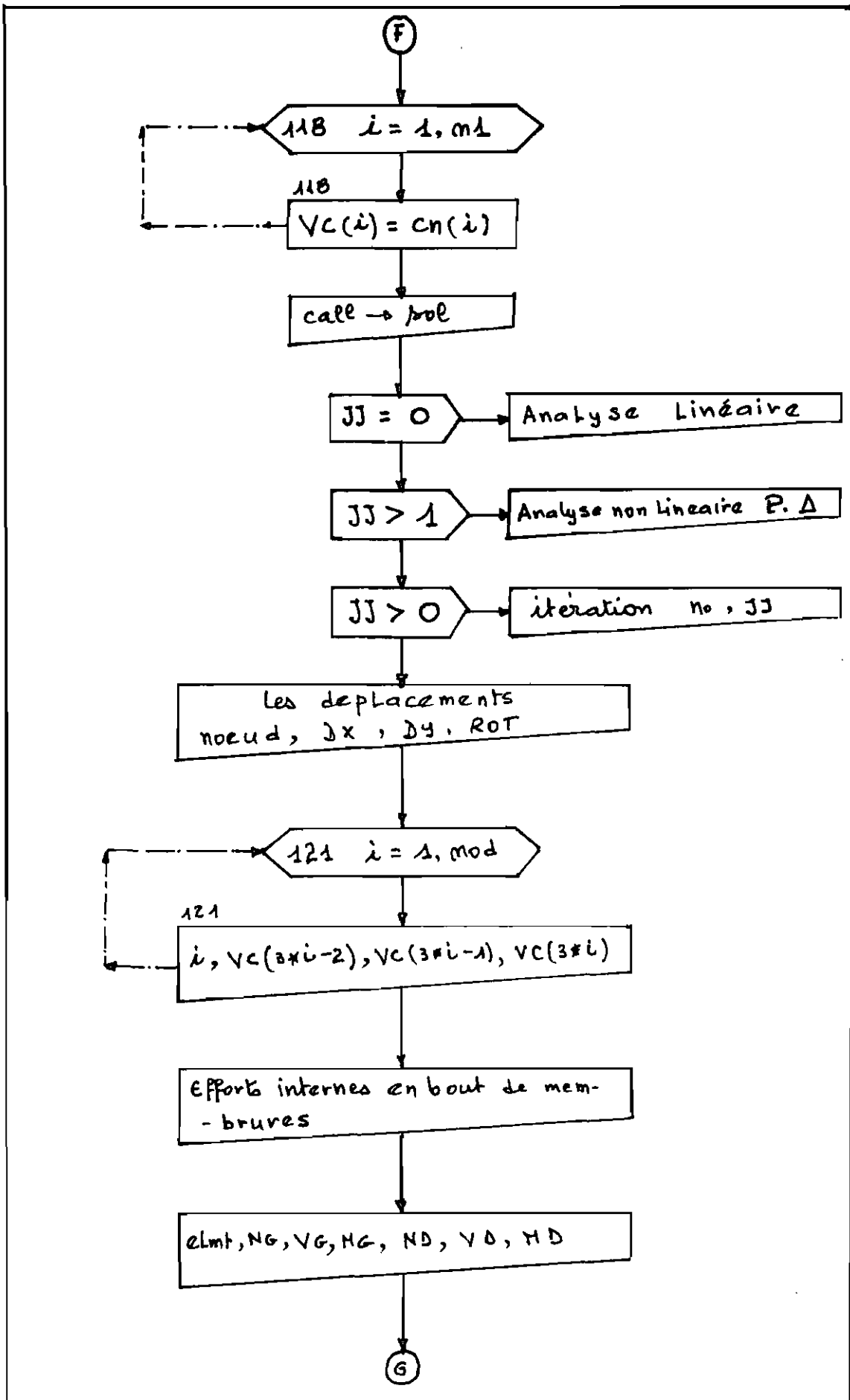


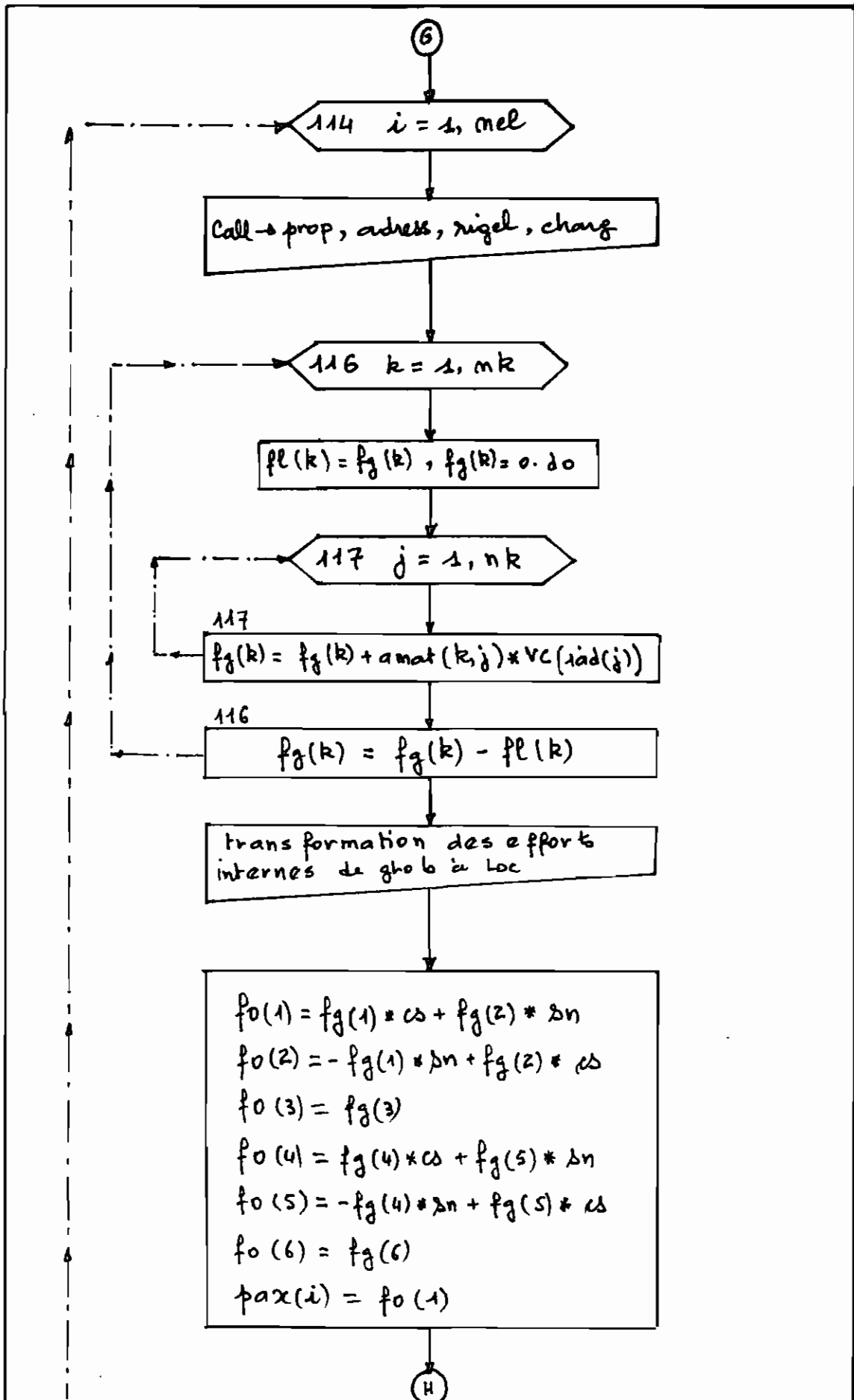


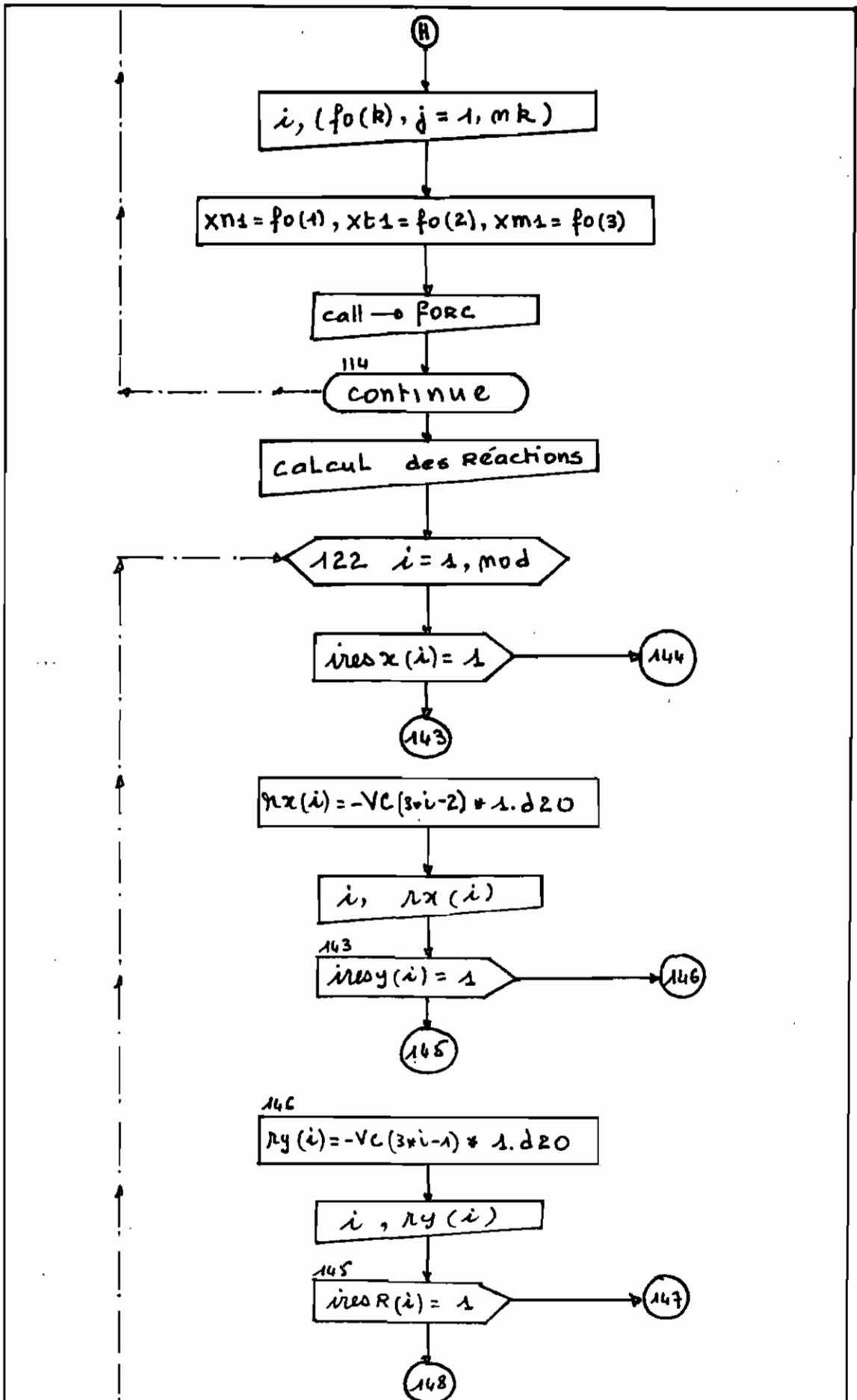


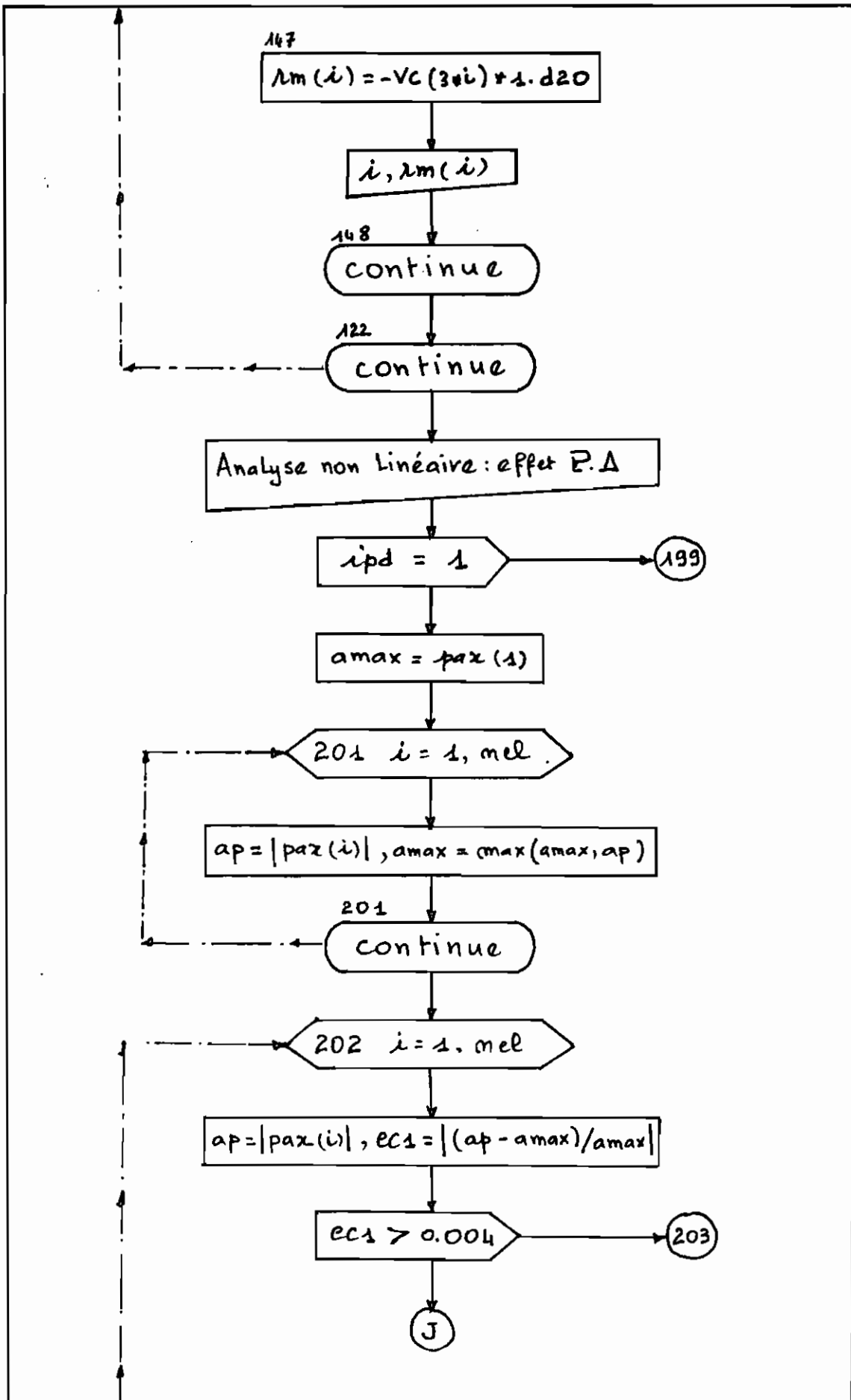


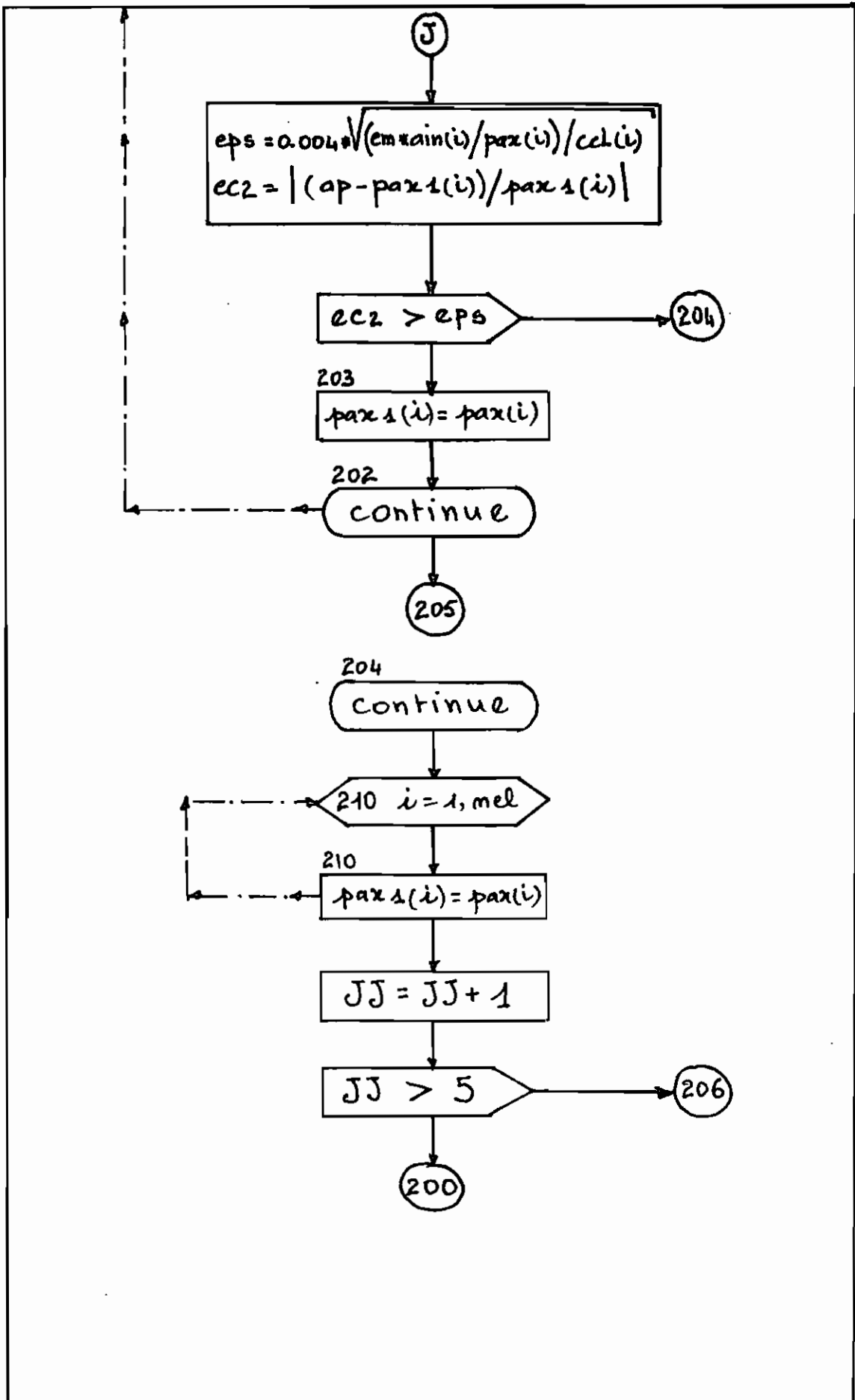


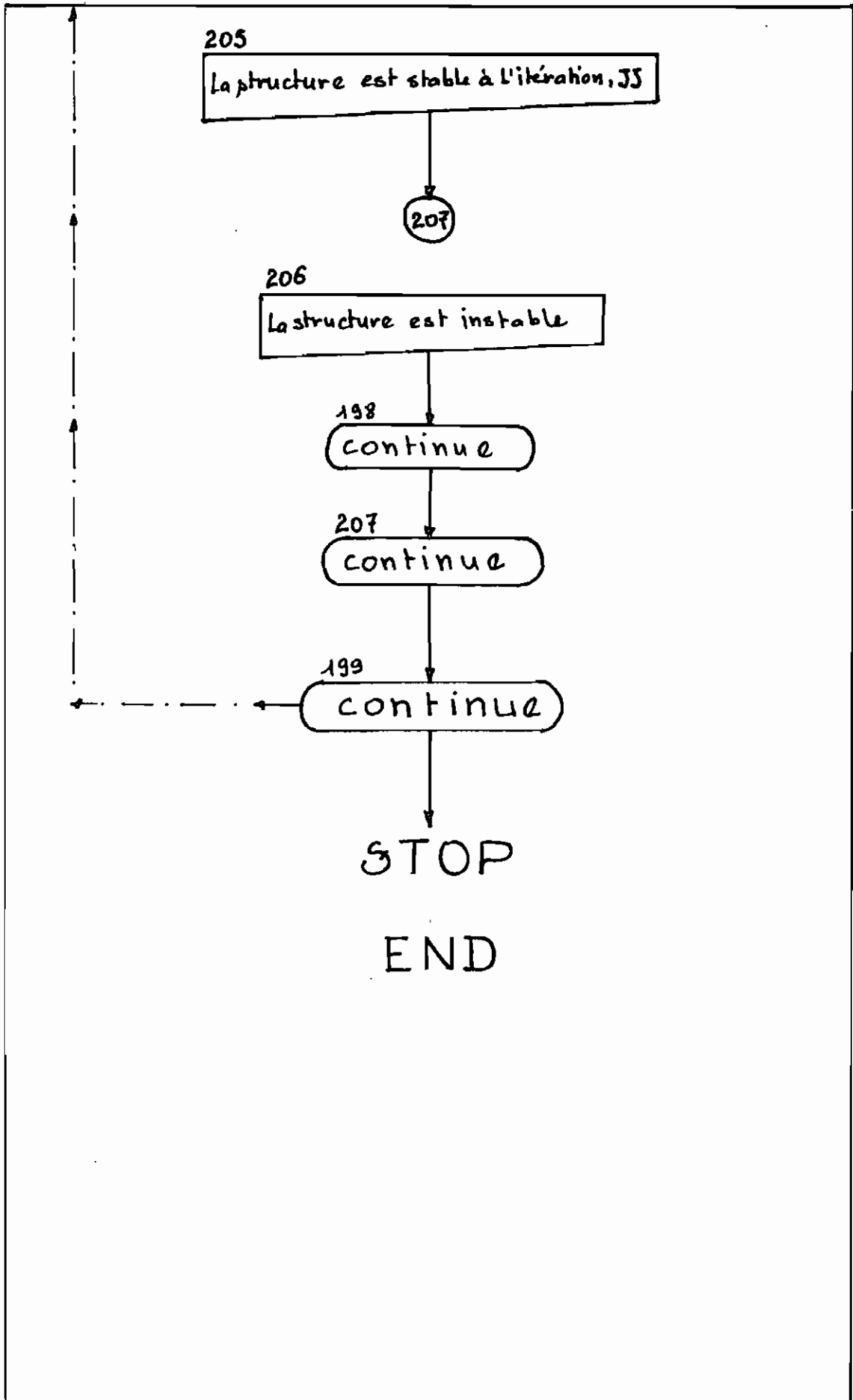












CHAPITRE IV

CONCLUSION

RECOMMANDATIONS



## Chapitre IV

### CONCLUSION et RECOMMANDATIONS

#### IV.1 CONCLUSION

Ce projet subdivisé en plusieurs phases, consistait dans son ensemble, en la confection d'une base de données destinée à résoudre certains problèmes fondamentaux d'ingénierie à savoir : La conception; la réalisation et le contrôle des structures.

L'objectif principal de ce présent travail se résumait, pour cette première phase, à la mise sur pied d'un logiciel en Fortran 77 pour l'analyse structurale et le dimensionnement des charpentes bidimensionnelles en béton armé.

L'analyse théorique qui constitue la phase charnière de la conception d'un programme d'ordinateur, a été généralisée afin d'étudier l'analyse linéaire, l'analyse non-linéaire géométrique (effet P. delta), et de simuler les poutres profondes compte tenu des effets de cisaillement.

Cependant la conception de ce logiciel en FORTRAN 77 a nécessité plus de temps qu'escompté, de sorte que seule l'analyse linéaire a pu être testée sur trois exemples pratiques, et a donné des résultats satisfaisants confirmés par d'autres auteurs. (appendices A, B, C).

Bien que toutes les sous routines soient testées individuellement avec succès, le manque de confirmations systématiques des résultats obtenus avec l'analyse non linéaire géométrique, nous empêche de tirer une conclusion définitive et d'établir une étude comparative plus exhaustive.

Cependant, les performances au point de vue calcul de ce logiciel sont très satisfaisantes pour son temps d'exécution très réduit, environ trois minutes et sa double précision des résultats.

## IV. 2 Recommandations

Une étude comparative entre l'analyse linéaire et l'analyse non-linéaire (effet P. delta), ne nous ayant pas permis d'établir une discussion riche et instructive nous vous suggérons de poursuivre ce travail en étudiant les items suivants :

- \* l'influence des forces axiales sur les ossatures afin de tenir compte des effets P. delta et donc de vérifier la stabilité des structures
- \* le dimensionnement des structures en béton armé compte tenu des résultats obtenus des deux analyses
- \* enfin essayer d'optimiser ce logiciel et d'élargir son champ d'action pour faciliter la vérification des structures plus complexes.

## CHAPITRE V

PRESENTATION du PROGRAMME

APPENDICES

BIBLIOGRAPHIE



```

c
c      LECTURE ET ECRITURE DES DONNEES DES ELEMENTS
c
print 1
print *,'*****'
print *,'*****      DONNEES DES ELEMENTS      *****'
print *,'*****'
print 12
do 103 i=1,nel
read(5,*) k,j1(k),j2(k),aire(k),ain(k)
cc1(k)=dsqrt((tx(j2(k))-tx(j1(k)))**2+(ty(j2(k))-ty(j1(k)))**2)
103 continue
c
do 104 i=1,nel
print 13,i,j1(i),j2(i),aire(i),ain(i),cc1(i)
104 continue
c
call cmaxa(j1,j2,ndl,nel,nk,n1,nx,maxa,iad,ih)
nwk=maxa(n1+1)-1
c
print 1
print *,'NOMBRE D'EQUATIONS -----=' ,n1
print *,'ESPACE REQUIS POUR GRK-----=' ,nwk
c
read(5,*) nelc,nelu,ite,nnch
do 199 ii=1,icc
do 2 i=1,nel
w(i)=0.d0
ncc(i)=0.d0
pax(i)=0.d0
pax1(i)=1.
do 5 j=1,3
fc(i,j,1)=0.d0
5 fc(i,j,2)=0.d0
2 continue
do 3 i=1,n1
3 cn(i)=0.d0
jj=0
c

```

```

print *,' *****'
print *,' ***** CHARGES AUX NOEUDS *****'
print *,' *****'
print *,' CAS DE CHARGEMENT NO',ii
if(nnch.eq.0) go to 130
print *,' NOMBRE DE NOEUDS CHARGES      =',nnch
print 14
do 107 i=1,nnch
read(5,*) n2,cn(n2*nd1-2),cn(n2*nd1-1),cn(n2*nd1)
print 15,n2,cn(n2*nd1-2),cn(n2*nd1-1),cn(n2*nd1)
107 continue
130 continue
c
if(nelu.eq.0) go to 1120
print 1
print *,' CHARGE REPARTIE
print *,' NOMBRE D'ELEMENTS CHARGES UNIF      =',nelu
print *,' ELMT          W '
do 108 i=1,nelu
read(5,*) n2,w(n2)
print 16 ,n2,w(n2)
108 continue
1120 continue
c
if(nelc.eq.0) go to 1130
print 1
print *,' CHARGE CONCENTREE '
print *,' NOMBRE D'ELEMENTS CHARGES CONCENT      =',nelc
do 1000 i=1,nelc
read(5,*) n3,ncc(n3)
nck=ncc(n3)
print *,'NOMBRE DE CHARGES CONCENTREES      =',nck
if(nck.eq.0) go to 1000
do 1010 j=1,nck
read(5,*) n3,(fc(n3,j,k),k=1,2)
1010 continue
print 17
do 1020 j=1,nck
1020 print 18,n3,(fc(n3,j,k),k=1,2)
1000 continue
1130 continue
c
if(ite.eq.1) go to 198
c
c CONFECTION DU VECT CHARGE GENERALE DE LA STRUCT
c
do 110 i=1,nel
call prop(j1,j2,w,aire,ain,pax,nk,tx,ty,ccl,cs,sn,jj1,jj2
+,wc,as,ci,cl,p,i)
call adress(jj1,jj2,nd1,nk,iad)
call charg(fg,fl,g,as,nk,em,ci,cl,p,wc,q,a,cs,sn,fc,flc,nck,i)
do 111 k=1,nk
cn(iad(k))=cn(iad(k))+fg(k)
111 continue
110 continue

```

```

c
c      CALCUL DE LA MATRICE DE RIGIDITE GLOBALE ET ASSEMBLAGE
c
200  continue
      do 119 i=1,700
119   grk(i)=0.d0
      do 112 i=1,nel
      call prop(j1,j2,w,aire,ain,pax,nk,tx,ty,ccl,cs,sn,jj1,jj2
+ ,wc,as,ci,cl,p,i)
      call adress(jj1,jj2,ndl,nk,iad)
      call rigel(amat,g,nk,as,em,ci,cl,p,cs,sn,fi1,fi2,fi3,fi4)
      call assemb(iad,ndl,nk,amat,grk,nwk,maxa,nx,n1)
112  continue
c
      do 120 i=1,nod
      if(iresx(i).eq.1) grk(maxa(3*i-2))=grk(maxa(3*i-2))+1.d20
      if(iresy(i).eq.1) grk(maxa(3*i-1))=grk(maxa(3*i-1))+1.d20
      if(iresr(i).eq.1) grk(maxa(3*i))=grk(maxa(3*i))+1.d20
120  continue
c
      call tripld(grk,maxa,n1,nwk,nx)
c
c      SOLUTION DES EQUATIONS ET DEPLACEMENTS
c
      do 118 i=1,n1
118   vc(i)=cn(i)
      call sol(grk,vc,maxa,n1,nwk,nx)
      if(jj.eq.0) print 19
      if(jj.gt.1) print 20
      print *,'    CAS DE CHARGEMENT NO',i
      if(jj.gt.0) print 23,jj
      print 21
      do 121 i=1,nod
121  print 22,i,vc(3*i-2),vc(3*i-1),vc(3*i)
c
c      CALCUL DES EFFORTS INTERNES EN BOUT DE MEMBRURES
c
      print 55
      print *,'          *****'
      print *,'          *****  EFFORTS  INTERNES  *****'
      print *,'          *****'
      if(jj.gt.0) print 23,jj
      do 114 i=1,nel
      if((mod(i,2).eq.0).and.(i.gt.2)) print 55
      if((mod(i,2).eq.0).and.(i.gt.2))
+   print *,'          *****'
      if((mod(i,2).eq.0).and.(i.gt.2))
+   print *,'          *****  EFFORTS  INTERNES  *****'
      if((mod(i,2).eq.0).and.(i.gt.2))
+   print *,'          *****'
      print 24
      call prop(j1,j2,w,aire,ain,pax,nk,tx,ty,ccl,cs,sn,jj1,jj2
+ ,wc,as,ci,cl,p,i)
      call adress(jj1,jj2,ndl,nk,iad)
      call rigel(amat,g,nk,as,em,ci,cl,p,cs,sn,fi1,fi2,fi3,fi4)

```

```

c
c      CALCUL DES EFFORTS INTERNES DANS LE SYST GLOBAL
c
      call charg(fg,fl,g,as,nk,em,ci,cl,p,wc,q,a,cs,sn,fc,flc,nck,i)
      do 116 k=1,nk
      fl(k)=fg(k)
      fg(k)=0.d0
      do 117 j=1,nk
117      fg(k)=fg(k)+amat(k,j)*vc(iad(j))
116      fg(k)=fg(k)-fl(k)
c
c      TRANSFORMATION DES EFFORTS INTERNES DE GLOB A LOC
c
      fo(1)=fg(1)*cs+fg(2)*sn
      fo(2)=-fg(1)*sn+fg(2)*cs
      fo(3)=fg(3)
      fo(4)=fg(4)*cs+fg(5)*sn
      fo(5)=-fg(4)*sn+fg(5)*cs
      fo(6)=fg(6)
      pax(i)=fo(1)
      print 30,i,(fo(j),j=1,nk)
c
      xnl=fo(1)
      xt1=fo(2)
      xml=fo(3)
      call forc(xnl,xt1,xml,wc,fc,cl,i)
      print 1
114      continue
c
c      CALCUL DES REACTIONS
c
      print *,'          CALCUL DES REACTIONS'
      do 122 i=1,nod
      if(iresx(i).eq.1) go to 144
      go to 143
144      rx(i)=-vc(3*i-2)*1.d20
      print 25,i,rx(i)
143      if(iresy(i).eq.1) go to 146
      go to 145
146      ry(i)=-vc(3*i-1)*1.d20
      print 26,i,ry(i)
145      if(iresr(i).eq.1) go to 147
      go to 148
147      rz(i)=-vc(3*i)*1.d20
      print 27,i,rz(i)
148      continue
122      continue

```



```
c
c      ANALYSE NON-LINEAIRE : L'EFFET P-DELTA
c
      if(ipd.eq.1) go to 199
      amax=pax(1)
      do 201 i=1,nel
      ap=dabs(pax(i))
      amax=max(amax,ap)
201    continue
      do 202 i=1,nel
      ap=dabs(pax(i))
      tep=((ap-amax)/amax)
      ec1=dabs(tep)
      if(ec1.gt.4.d-1) go to 203
      eps=.004*dsqrt(em*ain(i)/pax(i))/ccl(i)
      ec2=dabs((ap-pax1(i))/pax1(i))
      if(ec2.gt.eps) go to 204
203    pax1(i)=pax(i)
202    continue
      go to 205
204    continue
      do 210 i=1,nel
210    pax1(i)=pax(i)
      jj=jj+1
      if(jj.gt.4) go to 206
      go to 200
205    print 28,jj
      go to 207
206    print *,'          LA STRUCTURE EST INSTABLE'
198    continue
207    continue
c
199    continue
c
```

```

1      format(//)
55     format('1')
10     format(' ',t10,'NOEUDS',9x,'COORD.X',11x,'COORD.Y',8x,
+ 'REST.X',3x,'REST.Y',3x,'RES.R')
11     format(' ',5x,i5,2(7x,d12.4),3(5x,i5))
12     format(' ',t10,'ELMTS',t18,'NOEUD.1',t28,'NOEUD.2',t42,
+ 'AIRE',t57,'INERTIE',t72,'LONGUEUR')
13     format(' ',3(5x,i5),3(5x,d12.4))
14     format(' ',t10,'NOEUD',t26,'FX',t50,'FY',t69,'MOMENT')
15     format(' ',5x,i5,3(10x,d12.4))
16     format(' ',5x,i5,7x,d12.4)
17     format(' ',t10,'ELMTS',t20,'CH.CT',t35,'DIST.G')
18     format(' ',(5x,i5),2(5x,d12.4))
19     format(//////////',t40,'ANALYSE LINEAIRE')
20     format(//////////',t40,'ANALYSE NON - LINEAIRE :P-DELTA')
21     format(//',t30,'LES DEPLACEMENTS'//',t10,
+ 'NOEUD',t24,'DX',t40,'DY',t56,'ROT')
22     format(' ',5x,i5,3(5x,d12.4))
23     format(' ',t10,'ITERATION',i2)
24     format(//',t22,'EFFORTS EN BOUT DE MEMBRURES',//',
+ t10,'ELMT',t23,'NG',t40,'VG',t57,'MG',t74,'ND'
+ t91,'VD',t108,'MD')
25     format(' ',t10,'NOEUD',t15,i5,t25,'RX =',t30,d12.4)
26     format(' ',t10,'NOEUD',t15,i5,t25,'RY =',t30,d12.4)
27     format(' ',t10,'NOEUD',t15,i5,t25,'RM =',t30,d12.4)
28     format(///,' ',t10,'LA STRUCTURE EST STABLE A L'ITER',t48,i2)
30     format(' ',5x,i5,6(5x,d12.4))
99     format(a6)
c
      close (unit=5)
      close (unit=6)
      stop
      end

```

```

subroutine rigel(amat,g,nk,as,em,ci,cl,p,cs,sn,fi1,fi2,fi3,fi4)
c
implicit real*8 (a-h,o-z)
dimension amat(6,6)
do 1 i=1,6
do 1 j=1,6
1 amat(i,j)=0.d0
c
call calf(em,g,ci,cl,p,as,fi1,fi2,fi3,fi4)
c
c      CALCUL DES COEFFICIENTS DE RIGIDITE FLEXIONNELLE
c
ca =em*as/cl
a1 =em*ci*fi1/cl
a2 =em*ci*fi2/ cl
a3 = em*ci*fi3/(cl**2)
a4 = em*ci*fi4/(cl**3)
c
d1 = ca*(cs**2)+a4*(sn**2)
d2 = (ca-a4)*cs*sn
d3 = ca*(sn**2)+a4*(cs**2)
d4 = -a3*sn
d5 =  a3*cs
c
c      CALCUL DES COEFFICIENTS DE RIGIDITE
c
amat(1,1) = d1
amat(4,1) =-d1
amat(4,4) = d1
amat(2,1) = d2
amat(4,2) =-d2
amat(5,1) =-d2
amat(5,4) = d2
amat(2,2) = d3
amat(5,2) =-d3
amat(5,5) = d3
amat(3,1) = d4
amat(4,3) =-d4
amat(6,1) = d4
amat(6,4) =-d4
amat(3,2) = d5
amat(5,3) =-d5
amat(6,2) = d5
amat(6,5) =-d5
amat(3,3) = a1
amat(6,6) = a1
amat(6,3) = a2
c
c      TRANSPOSITION DE AMAT
c
do 2 k = 1 , 6
do 2 l = k , 6
2 amat(k,l) = amat(l,k)
return
end

```

```

subroutine cmaxa(j1,j2,ndl,nel,nk,n1,nx,maxa,iad,ih)
c
dimension j1(nk),j2(nk),iad(nk),maxa(nx),ih(n1)
implicit real*8(a-h,o-z)
c
do 3 i=1,n1
3 ih(i)=0.d0
c
c   ADRESSES DES DEGRES DE LIBERTE LOCAUX
c
do 10 k=1,nel
j4=j2(k)
j3=j1(k)
do 5 j=1,ndl
iad(j)=ndl*(j3-1)+j
5 iad(j+ndl)=ndl*(j4-1)+j
mi=iad(1)
do 1 i=2,nk
if(iad(i).lt.mi) mi=iad(i)
1 continue
do 2 i=1,nk
ii=iad(i)
iht=ii-mi
if(iht.gt.ih(ii)) ih(ii)=iht
2 continue
10 continue
maxa(1)=1
maxa(2)=2
do 20 i=2,n1
20 maxa(i+1)=maxa(i)+ih(i)+1
return
end

c
subroutine assemb(iad,ndl,nk,ptk,grk,nwk,maxa,nx,n1)
c
dimension iad(nk),ptk(nk,nk),grk(nwk),maxa(nx)
implicit real*8(a-h,o-z)
c
do 30 l=1,nk
iii=iad(l)
do 25 j=1,nk
jjj=iad(j)
if(jjj.lt.iii) go to 25
k=maxa(jjj)+jjj-iii
grk(k)=grk(k)+ptk(l,j)
25 continue
30 continue
return
end

```

```
subroutine tripld (a,maxa,nn,nwk,nnm)
c
implicit real*8(a-h,o-z)
dimension a(nwk),maxa(nnm)
c
do 140 n=1,nn
kn=maxa(n)
kl=kn+1
ku=maxa(n+1)-1
kh=ku-kl
if(kh) 110,90,50
50 k=n-kh
ic=0
klt=ku
do 80 j=1,kh
ic=ic+1
klt=klt-1
ki=maxa(k)
nd=maxa(k+1)-ki-1
if(nd) 80,80,60
60 kk=min(ic,nd)
c=0.d0
do 70 l=1,kk
70 c=c+a(ki+l)*a(klt+l)
a(klt)=a(klt)-c
80 k=k+1
90 k=n
b=0.d0
do 100 kk=kl,ku
k=k-1
ki=maxa(k)
c=a(kk)/a(ki)
b=b+c*a(kk)
100 a(kk)=c
a(kn)=a(kn)-b
110 if(a(kn)) 120,120,140
120 print 1000,n
stop
1000 format(' matrice singuliere rangee',i5)
140 continue
return
end
```

```

c
c      subroutine sol(a,v,maxa,nn,nwk,nnm)
c
c      RESOLUTION POUR LARGEUR DE BANDE VARIABLE
c
c          a          :matrice decomposee
c          v          :vecteur chargement
c
c      implicit real*8(a-h,o-z)
c      dimension a(nwk),maxa(nnm),v(nn)
c
c      do 180 n = 1 , nn
c      kl = maxa(n) + 1
c      ku = maxa(n + 1) - 1
c      kukl=ku-kl
c      if(kukl) 180, 160 , 160
160      k = n
c      c = 0.d0
c      do 170 kk = kl , ku
c      k = k - 1
170      c = c + a(kk) * v(k)
c      v(n) = v(n) - c
180      continue
c
c      substitution a rebours
c
c      do 200 n = 1 , nn
c      k = maxa(n)
200      v(n) = v(n) / a(k)
c      n = nn
c      do 230 l = 2 , nn
c      kl = maxa(n) + 1
c      ku = maxa(n + 1) - 1
c      kukl=ku-kl
c      if(kukl) 230 , 210 , 210
210      k = n
c      do 220 kk = kl , ku
c      k = k - 1
220      v(k) = v(k) - a(kk) * v(n)
230      n = n - 1
c      return
c      end

```

```

c
      subroutine charg(fg,fl,g,as,nk,em,ci,cl,p,wc,q,a,cs,sn,fc,flc,nk,i)
      implicit real*8(a-h,o-z)
c
      dimension fl(nk),fg(nk),flc(nk),fc(10,3,2)
      do 5 l=1,6
      flc(l)=0.d0
      fl(l)=0.d0
      fg(l)=0.d0
5      continue
      if(g.ne.0)    si=p/g/as
      if(g.eq.0)    si=0.d0
      alf=cl*dsqrt(dabs(p)*(1.d0+si)/em/ci)
c
      CHARGE UNIFORME WC
      EFFORTS TRANCHANTS ET NORMAUX POUR UNE CHARGE UNIF WC
c
      fl(1)=0.d0
      fl(2)=(wc*cl)/2.d0
      fl(4)=0.d0
      fl(5)=(wc*cl)/2.d0
c
      FORCE AXIALE NULLE
c
      if(alf.gt.0.0001) go to 10
      fl(3)=wc*(cl**2)/12.d0
      fl(6)=-fl(3)
      go to 40
c
      FORCE AXIALE DE TRACTION
c
10     if(p.lt.0.d0) go to 20
      c=-(wc*(cl/alf)**2)*(1.d0+si)
      fl(3)=c*(alf/(2.d0*dtanh(alf/2.d0))-1.d0)
      fl(6)=-fl(3)
      go to 40
c
      FORCE AXIALE DE COMPRESSION
c
20     c=-(wc*(cl/alf)**2)*(1.d0+si)
      fl(3)=c*(1.d0-alf/(2.d0*dtanh(alf/2.d0)))
      fl(6)=-fl(3)
40     continue
c

```

```

c      CHARGE CONCENTREE Q
c
q=0.d0
a=0.d0
do 50 j=1,nck
q=fc(i,j,1)
a=fc(i,j,2)
call calf(em,g,ci,cl,p,as,fi1,fi2,fi3,fi4)
c
c      EFFORTS TRANCHANTS ET NORMAUX POUR UNE CHARGE CONCENT Q
f1c(2)=f1c(2)+(q*(cl-a)/cl)
f1c(5)=f1c(5)+(q*a/cl)
c
c      FORCE AXIALE NULLE
if(alf.gt.0.0002) go to 25
d1=(q*(cl-a)*(a**2-2.d0*a*cl))/(6.d0*em*ci*cl)
d2=q*a*(cl**2-a**2)/(6.d0*em*ci*cl)
go to 45
c
c      FORCE AXIALE DE TRACTION
25 if(p.lt.0.d0) go to 35
d1=(q/dabs(p))*((cl-a)/cl-(dsinh(alf*(cl-a)/cl))/(dsinh(alf)))
d2=(q/dabs(p))*(-a/cl+(dsinh(alf*a/cl))/(dsinh(alf)))
go to 45
c
c      FORCE AXIALE DE COMPRESSION
35 d1=-q/p*((cl-a)/cl-(dsin(alf*(cl-a)/cl))/(dsin(alf)))
d2=-q/p*(-a/cl+(dsin(alf*a/cl))/(dsin(alf)))
c
c      CALCUL DES MOMENTS FLECHISSANTS POUR UNE CHARGE CONCENT Q
45 f1c(3)=f1c(3)-(em*ci)/cl*(d1*fi1+d2*fi2)
f1c(6)=f1c(6)-(em*ci)/cl*(d1*fi2+d2*fi1)
50 continue
c
c      CALCUL DES FORCES EQUIVALENTES EN BOUT DE MEMBRURE
f1(1)=0.d0
f1(2)=f1(2)+f1c(2)
f1(3)=f1(3)+f1c(3)
f1(4)=0.d0
f1(5)=f1(5)+f1c(5)
f1(6)=f1(6)+f1c(6)
c
c      TRANSFORMATION DES FORCES EQUIVALENTES LOC DANS GLOB
fg(1)=f1(1)*cs-f1(2)*sn
fg(2)=f1(1)*sn+f1(2)*cs
fg(3)=f1(3)
fg(4)=f1(4)*cs-f1(5)*sn
fg(5)=f1(4)*sn+f1(5)*cs
fg(6)=f1(6)
return
end

```



```

c
c
subroutine calf(em,g,ci,cl,p,as,fi1,fi2,fi3,fi4)
implicit real*8(a-h,o-z)

c
c   CALCUL DES DIFFERENTS COEFFICIENTS
c
  if(g.ne.0) si=p/g/as
  if(g.eq.0) si=0.d0
  alf=cl*dsqrt(dabs(p*(1.d0+si)/em/ci))

c
c   FORCE AXIALE NULLE
c
  if (alf.gt.0.0001) go to 30
  if (g.eq.0) fi=0.d0
  if (g.ne.0) fi=12*em*ci/(g*as*(cl**2))
  fi1=(4.d0+fi)/(1.d0+fi)
  fi2=(2.d0-fi)/(1.d0+fi)
  fi3=6.d0/(1.d0+fi)
  fi4=12.d0/(1.d0+fi)
  return

c
c   FORCE AXIALE DE TRACTION
c
30  if (p.lt.0.d0) go to 10
  c=2.d0*(1.d0+si)*(1.d0-dcosh(alf))+alf*dsinh(alf)
  fi1=-alf*((1.d0+si)*dsinh(alf)-alf*dcosh(alf))/c
  fi2=-alf*(alf-(1.d0+si)*dsinh(alf))/c
  fi3=-(alf**2)*(1.d0-dcosh(alf))/c
  fi4=((alf**3)*dsinh(alf))/(1.d0+si)/c
  return

c
c   FORCE AXIALE DE COMPRESSION
c
10  d=2.d0*(1.d0+si)*(1.d0-dcos(alf))-alf*dsin(alf)
  fi1=alf*((1+si)*dsin(alf)-alf*dcos(alf))/d
  fi2=alf*(alf-(1+si)*dsin(alf))/d
  fi3=(alf)**2*(1-dcos(alf))/d
  fi4=(alf)**3*dsin(alf)/(1+si)/d
  return
end

```

```
subroutine adress(jj1,jj2,ndl,nk,iad)
```

```
dimension iad(nk)  
implicit real*8(a-h,o-z)
```

```
do 2 j=1,ndl  
iad(j)=ndl*(jj1-1)+j  
iad(j+ndl)=ndl*(jj2-1)+j  
return  
end
```

```
subroutine prop(j1,j2,w,aire,ain,pax,nk,tx,ty,ccl,cs,sn,jj1,jj2,  
+wc,as,ci,cl,p,i)  
implicit real*8(a-h,o-z)  
dimension j1(nk),j2(nk),w(nk),aire(nk),ain(nk),pax(nk),ccl(nk),  
+tx(nk),ty(nk)
```

```
jj1=j1(i)  
jj2=j2(i)  
wc=w(i)  
as=aire(i)  
ci=ain(i)  
cl=ccl(i)  
p=pax(i)  
cs=(tx(j2(i))-tx(j1(i)))/cl  
sn=(ty(j2(i))-ty(j1(i)))/cl  
return  
end
```

```

subroutine forc (xn1,xv1,xm1,wi,fc,ali,k)
c
implicit real*8(a-h,o-z)
dimension fc(10,3,2)
c
print 56
p1=0.d0
p2=p1
p3=p2
x1=fc(k,1,2)
x2=fc(k,2,2)
x3=fc(k,3,2)
x=0.d0
c
do 20 i=1,11
c
if(x.gt.x1) go to 10
go to 100
10 continue
c
if(x.gt.x2.and.x2.gt.x1) go to 11
p1=fc(k,1,1)
go to 100
11 continue
c
if(x.gt.x3.and.x3.gt.x2) go to 12
p1=fc(k,1,1)
p2=fc(k,2,1)
go to 100
c
12 p1=fc(k,1,1)
p2=fc(k,2,1)
p3=fc(k,3,1)
c
100 an=-xn1
av=-xv1-p1-p2-p3-wi*x
am=-av*x-xm1-wi*x**2/2.d0-p1*x1-p2*x2-p3*x3
print 53,x,an,av,am
x=x+.1d0*ali
53 format(' ',5x,f7.2,3(5x,f12.3))
56 format(//t20,'**aux 10 eme de portee**'
1/t20,24('*')//t10,' X',t26,'N',t43,'V',t60,'M')
20 continue
return
end

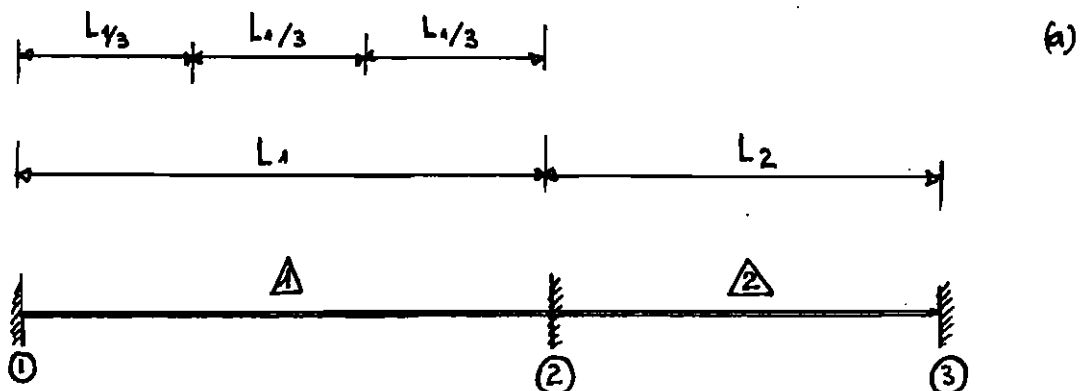
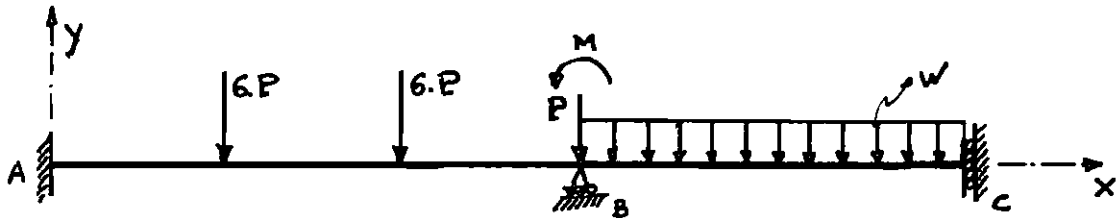
```

## Appendice A

### Les données générales

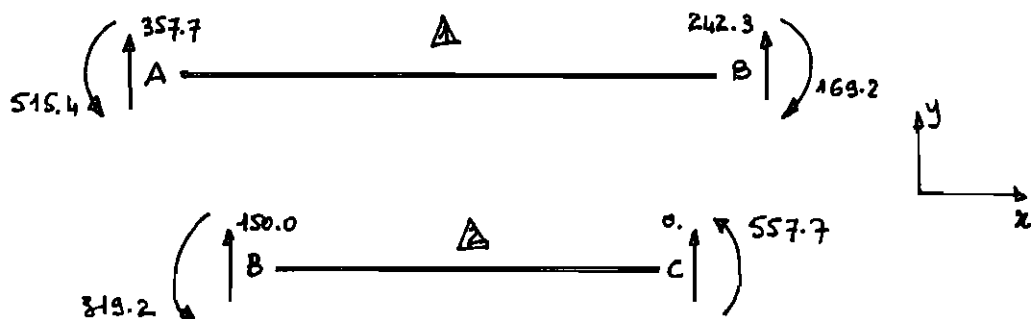
$$E = 200 \cdot 10^6 \text{ kN/m}^2 \quad L_1 = 6 \text{ m} \quad L_2 = 5 \text{ m} \quad A = 1 \text{ m}^2$$

$$I = 3.6 \cdot 10^3 \text{ m}^4 \quad P = 50 \text{ kN} \quad W = 30 \text{ kN/m} \quad M = 150 \text{ kN.m}$$



Système Cinématiquement stable (b)

les efforts en bout de membrures compte tenu des conventions de signe spécifiées dans le texte



Légende:

$\Delta$  : le numéro de l'élément.

$\textcircled{1}$  : le numéro du noeud.

\*\*\*\*\*  
 \*\*\*\*\* DONNEES GENERALES \*\*\*\*\*  
 \*\*\*\*\*

NOMBRE D'ELEMENTS -----= 2  
 NOMNRE DE NOEUDS -----= 3  
 NOMBRE DE DEGRES DE LIBERTE-----= 3  
 MODULE D'ELASTICITE -----= 200000000.00000  
 MODULE D'ELAST TRANSVERSAL-----= 0.  
 NOMBRE DE NOEUDS RESTREINTS-----= 3

\*\*\*\*\*  
 \*\*\*\*\* DONNEES DES NOEUDS \*\*\*\*\*  
 \*\*\*\*\*

NOEUDS	COORD. X	COORD. Y	REST. X	REST. Y	RES. R
1	.0000d+00	.0000d+00	1	1	1
2	0.6000d+01	.0000d+00	0	1	0
3	0.1100d+02	.0000d+00	0	0	1

\*\*\*\*\*  
 \*\*\*\*\* DONNEES DES ELEMENTS \*\*\*\*\*  
 \*\*\*\*\*

ELMTS	NOEUD. 1	NOEUD. 2	AIRE	INERTIE	LONGUEUR
1	1	2	0.1000d+01	0.3600d-02	0.6000d+01
2	2	3	0.1000d+01	0.3600d-02	0.5000d+01

NOMBRE D'EQUATIONS -----= 9  
 ESPACE REQUIS POUR CRK-----= 36

\*\*\*\*\*  
 \*\*\*\*\* CHARGES AUX NOEUDS \*\*\*\*\*  
 \*\*\*\*\*

CAS DE CHARGEMENT NO 1

NOMBRE DE NOEUDS CHARGES = 1

NOEUD	FX	FY	MOMENT
2	.0000d+00	-0.5000d+02	0.1500d+03

CHARGE REPARTIE

\*\*\*\*\*

NOMBRE D'ELEMENTS CHARGES UNIF = 1

ELMT	W
2	-0.3000d+02

CHARGE CONCENTREE

\*\*\*\*\*

NOMBRE D'ELEMENTS CHARGES CONCENT = 1

NOMBRE DE CHARGES CONCENTREES = 2

ELMTS	CH. CT	DIST. G
1	-0.3000d+03	0.2000d+01
1	-0.3000d+03	0.4000d+01

\*\*\*\*\*  
 \*\*\*\*\* ANALYSE LINEAIRE \*\*\*\*\*  
 \*\*\*\*\*

CAS DE CHARGEMENT NO 1

LES DEPLACEMENTS  
 \*\*\*\*\*

NOEUD	DX	DY	ROT
1	.0000d+00	-0.3577d-17	-0.5154d-17
2	.0000d+00	-0.4423d-17	0.4808d-03
3	.0000d+00	0.1169d-03	-0.5577d-18

\*\*\*\*\*  
 \*\*\*\*\* EFFORTS INTERNES \*\*\*\*\*  
 \*\*\*\*\*

EFFORTS EN BOUT DE MEMBRURES  
 \*\*\*\*\*

ELMT	NG	VG	MG
1	.0000d+00	0.3577d+03	0.5154d+03

	ND	VD	MD
1	.0000d+00	0.2423d+03	-0.1692d+03

\*\*aux 10 eme de portee\*\*  
 \*\*\*\*\*

X	N	V	M
.00	.000	-357.692	-515.385
.60	.000	-357.692	-300.769
1.20	.000	-357.692	-86.154
1.80	.000	-357.692	128.462
2.40	.000	-57.692	223.077
3.00	.000	-57.692	257.692
3.60	.000	-57.692	292.308
4.20	.000	242.308	266.923
4.80	.000	242.308	121.538
5.40	.000	242.308	-23.846
6.00	.000	242.308	-169.231

## EFFORTS EN BOUT DE MEMBRURES

\*\*\*\*\*

ELMT	NG	VG	MG
2	.0000d+00	0.1500d+03	0.3192d+03
ELMT	ND	VD	MD
2	.0000d+00	.0000d+00	0.5577d+02

\*\*aux 10 eme de portee\*\*

\*\*\*\*\*

X	N	V	M
.00	.000	-150.000	-319.231
.50	.000	-135.000	-247.981
1.00	.000	-120.000	-184.231
1.50	.000	-105.000	-127.981
2.00	.000	-90.000	-79.231
2.50	.000	-75.000	-37.981
3.00	.000	-60.000	-4.231
3.50	.000	-45.000	22.019
4.00	.000	-30.000	40.769
4.50	.000	-15.000	52.019
5.00	.000	.000	55.769

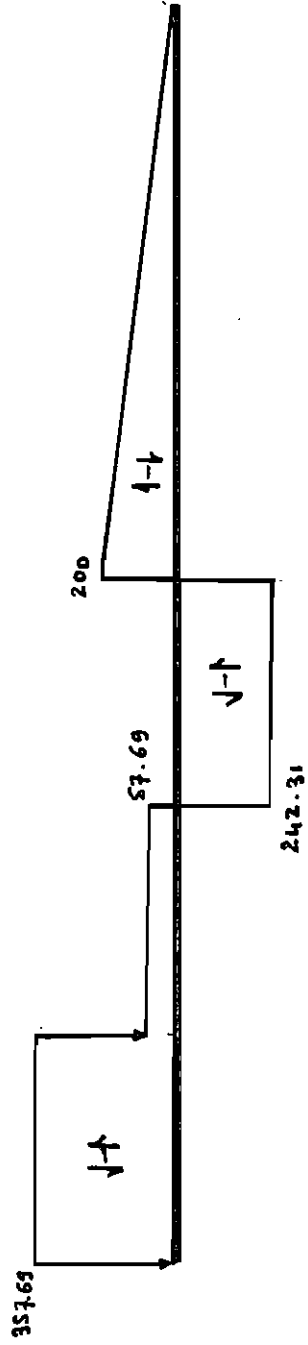
## CALCUL DES REACTIONS

\*\*\*\*\*

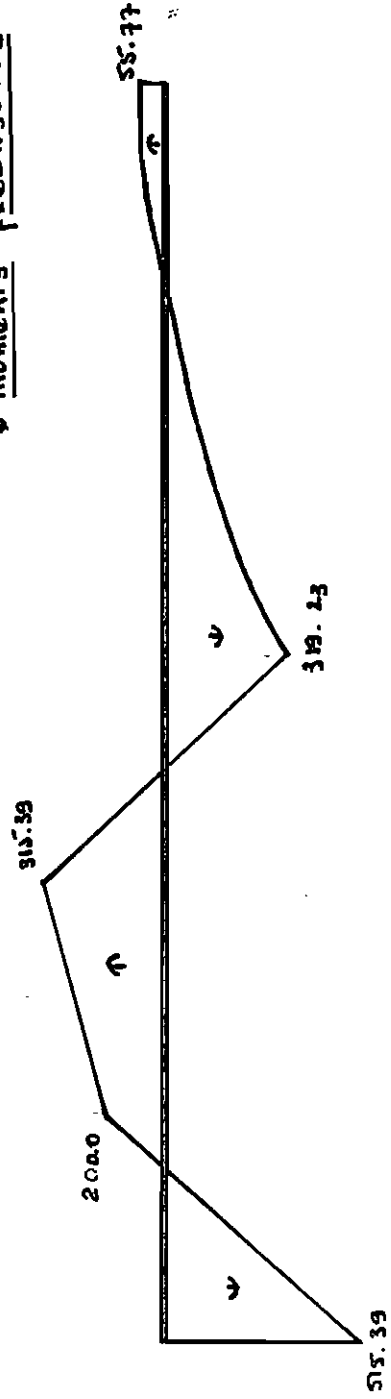
NOEUD	1	RX =	.0000d+00
NOEUD	1	RY =	0.3577d+03
NOEUD	1	RM =	0.5154d+03
NOEUD	2	RY =	0.4423d+03
NOEUD	3	RM =	0.5577d+02

Diagramme

\* efforts de cisaillement



\* moments fléchissants

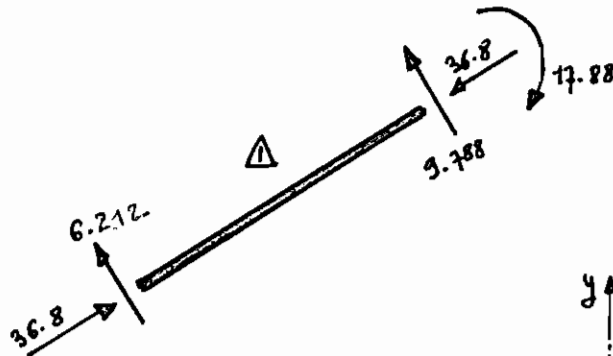
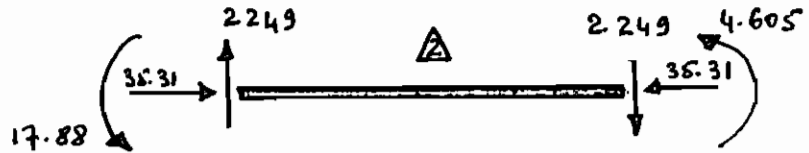
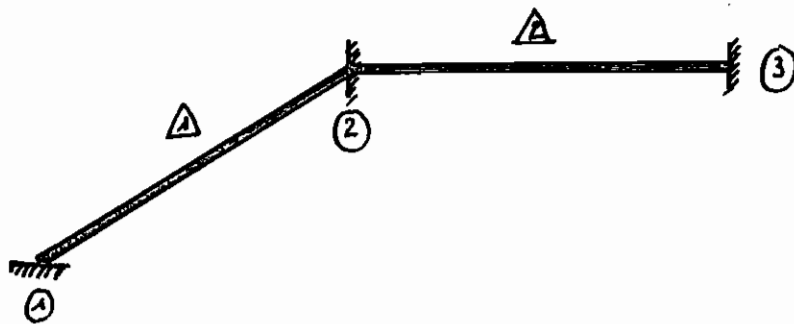
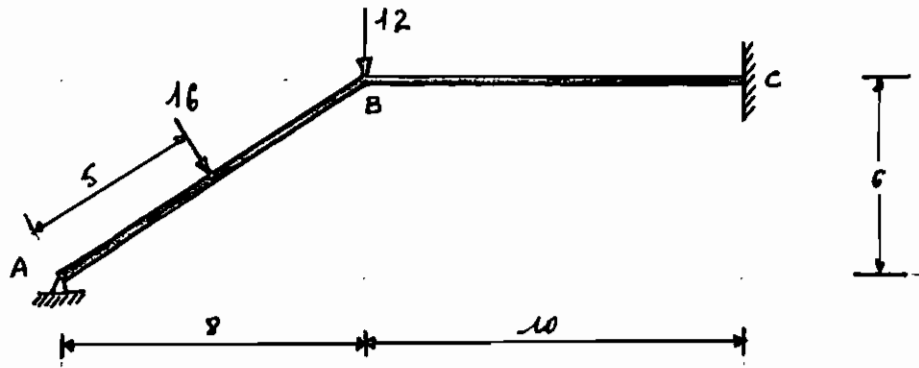




Appendice - B

données générales

$E = 200 \cdot 10^6 \text{ kN/m}^2$      $A = 0.75 \cdot 10^5 \text{ m}^2$      $I_1 = 0.5 \cdot 10^6 \text{ m}^4$      $I_2 = 1 \cdot 10^5 \text{ m}^4$



efforts en bout de membrure

\*\*\*\*\*  
 \*\*\*\*\* DONNEES GENERALES \*\*\*\*\*  
 \*\*\*\*\*

NOMBRE D'ELEMENTS -----= 2  
 NOMNRE DE NOEUDS -----= 3  
 NOMBRE DE DEGRES DE LIBERTE-----= 3  
 MODULE D'ELASTICITE -----= 200000000.00000  
 MODULE D'ELAST TRANSVERSAL-----= 0.  
 NOMBRE DE NOEUDS RESTREINTS-----= 2

\*\*\*\*\*  
 \*\*\*\*\* DONNEES DES NOEUDS \*\*\*\*\*  
 \*\*\*\*\*

NOEUDS	COORD.X	COORD.Y	REST.X	REST.Y	RES.R
1	0000d+00	0000d+00	1	1	0
2	0.8000d+01	0.6000d+01	0	0	0
3	0.1800d+02	0.6000d+01	1	1	1

\*\*\*\*\*  
 \*\*\*\*\* DONNEES DES ELEMENTS \*\*\*\*\*  
 \*\*\*\*\*

ELMTS	NOEUD.1	NOEUD.2	AIRE	INERTIE	LONGUEUR
1	1	2	0.7500d-05	0.5000d-06	0.1000d+02
2	2	3	0.7500d-05	0.1000d-05	0.1000d+02

NOMBRE D'EQUATIONS -----= 9  
 ESPACE REQUIS POUR GRK-----= 36

\*\*\*\*\*  
 \*\*\*\*\* CHARGES AUX NOEUDS \*\*\*\*\*  
 \*\*\*\*\*

CAS DE CHARGEMENT NO 1

NOMBRE DE NOEUDS CHARGES = 1

NOEUD	FX	FY	MOMENT
2	0000d+00	-0.1200d+02	0000d+00

CHARGE CONCENTREE

\*\*\*\*\*

NOMBRE D'ELEMENTS CHARGES CONCENT = 1

NOMBRE DE CHARGES CONCENTREES = 1

ELMTS	CH.CT	DIST.G.
1	-0.1600d+02	0.5000d+01

\*\*\*\*\*  
\*\*\*\*\* ANALYSE LINEAIRE \*\*\*\*\*  
\*\*\*\*\*  
CAS DE CHARGEMENT NO 1  
LES DEPLACEMENTS  
\*\*\*\*\*

NOEUD	DX	DY	ROT
1	-0.2571d-18	-0.2705d-18	-0.7739d+00
2	0.2354d+00	-0.7228d+00	0.3320d+00
3	0.3531d-18	0.2249d-19	-0.4605d-19

\*\*\*\*\*  
 \*\*\*\*\* EFFORTS INTERNES \*\*\*\*\*  
 \*\*\*\*\*

EFFORTS EN BOUT DE MEMBRURES

\*\*\*\*\*

ELMT	NG	VG	MG
1	0.3680d+02	0.6212d+01	.0000d+00
	ND	VD	MD
1	-0.3680d+02	0.9788d+01	-0.1788d+02

\*\*aux 10 eme de portee\*\*  
 \*\*\*\*\*

X	N	V	M
.00	-36.799	-6.212	.000
1.00	-36.799	-6.212	6.212
2.00	-36.799	-6.212	12.423
3.00	-36.799	-6.212	18.635
4.00	-36.799	-6.212	24.847
5.00	-36.799	-6.212	31.058
6.00	-36.799	9.788	21.270
7.00	-36.799	9.788	11.482
8.00	-36.799	9.788	1.694
9.00	-36.799	9.788	-8.095
10.00	-36.799	9.788	-17.883

EFFORTS EN BOUT DE MEMBRURES

\*\*\*\*\*

ELMT	NG	VG	MG
2	0.3531d+02	0.2249d+01	0.1788d+02
	ND	VD	MD
2	-0.3531d+02	-0.2249d+01	0.4605d+01

\*\*aux 10 eme de portee\*\*  
 \*\*\*\*\*

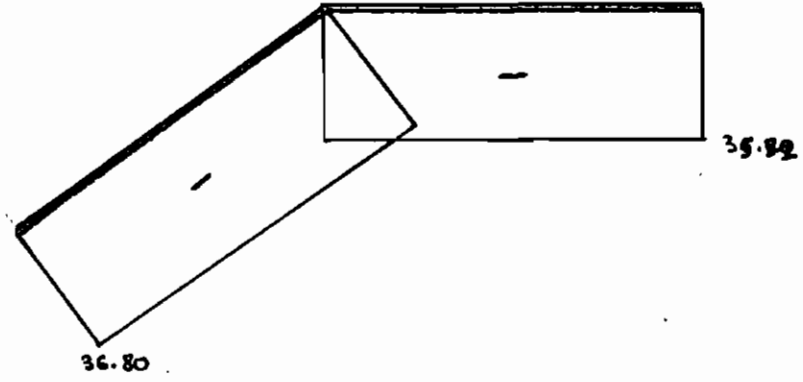
X	N	V	M
.00	-35.312	-2.249	-17.883
1.00	-35.312	-2.249	-15.634
2.00	-35.312	-2.249	-13.385
3.00	-35.312	-2.249	-11.137
4.00	-35.312	-2.249	-8.888
5.00	-35.312	-2.249	-6.639
6.00	-35.312	-2.249	-4.390
7.00	-35.312	-2.249	-2.141
8.00	-35.312	-2.249	.107
9.00	-35.312	-2.249	2.356
10.00	-35.312	-2.249	4.605

## CALCUL DES REACTIONS

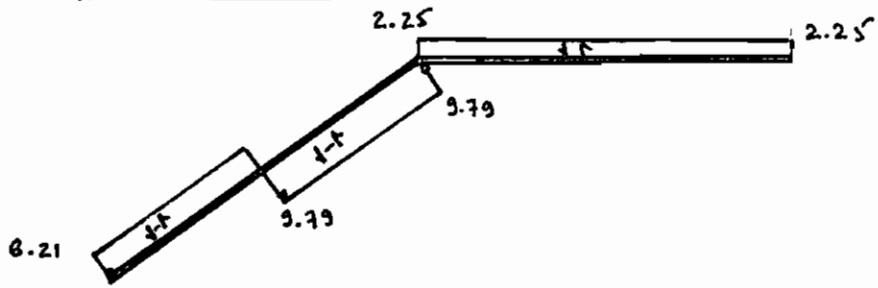
NOEUD	1	RX =	0.2571d+02
NOEUD	1	RY =	0.2705d+02
NOEUD	3	RX =	-0.3531d+02
NOEUD	3	RY =	-0.2249d+01
NOEUD	3	RM =	0.4605d+01

Diagrammes

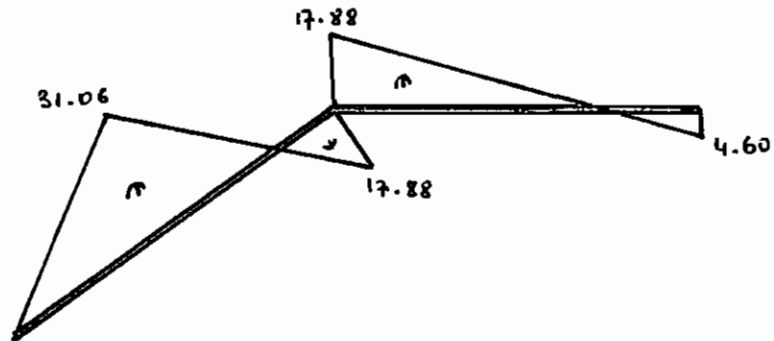
\* efforts normaux



\* efforts tranchants



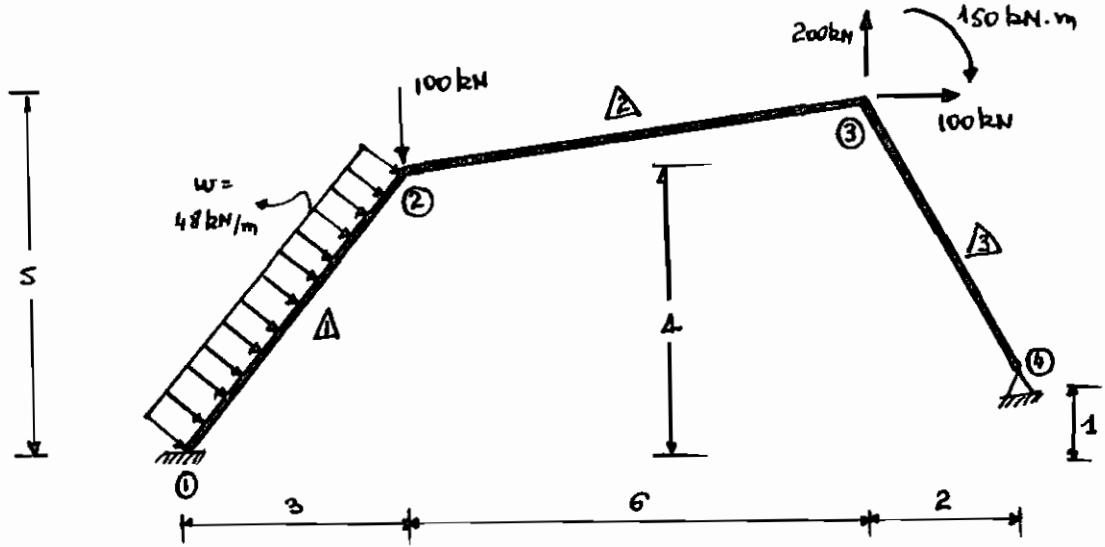
\* moments pléchiissants



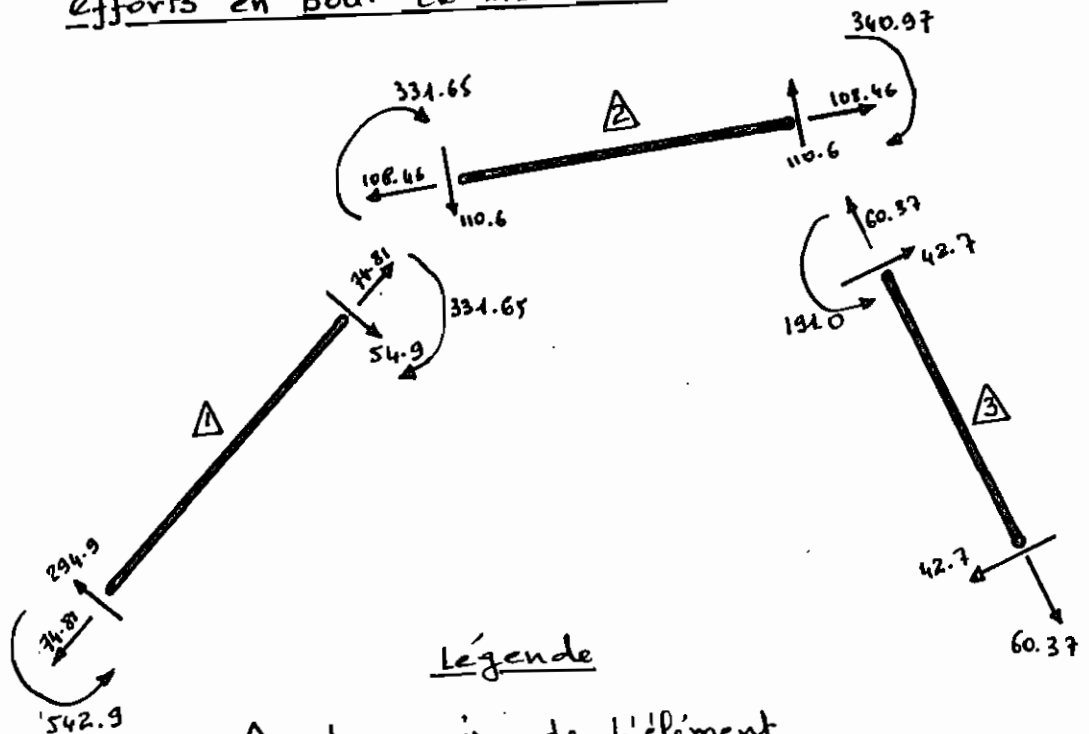
Appendice C

Données générales

$E = 70.10^6 \text{ kN/m}^2$      $A = 0.02 \text{ m}^2$      $I = 0.003 \text{ m}^4$



efforts en bout de membrure



Légende

△ : le numéro de l'élément

○ : le numéro du noeud

\*\*\*\*\*  
 \*\*\*\*\* DONNEES GENERALES \*\*\*\*\*  
 \*\*\*\*\*

NOMBRE D'ELEMENTS -----= 3  
 NOMBRE DE NOEUDS -----= 4  
 NOMBRE DE DEGRES DE LIBERTE-----= 3  
 MODULE D'ELASTICITE -----= 70000000.000000  
 MODULE D'ELAST TRANSVERSAL-----= 0.  
 NOMBRE DE NOEUDS RESTREINTS-----= 2

\*\*\*\*\*  
 \*\*\*\*\* DONNEES DES NOEUDS \*\*\*\*\*  
 \*\*\*\*\*

NOEUDS	COORD. X	COORD. Y	REST. X	REST. Y	RES. R
1	.0000d+00	.0000d+00	1	1	1
2	0.3000d+01	0.4000d+01	0	0	0
3	0.9000d+01	0.5000d+01	0	0	0
4	0.1100d+02	0.1000d+01	1	1	0

\*\*\*\*\*  
 \*\*\*\*\* DONNEES DES ELEMENTS \*\*\*\*\*  
 \*\*\*\*\*

ELMTS	NOEUD. 1	NOEUD. 2	AIRE	INERTIE	LONGUEUR
1	1	2	0.2000d-01	0.3000d-02	0.5000d+01
2	2	3	0.2000d-01	0.3000d-0	0.6083d+01
3	3	4	0.2000d-01	0.3000d-02	0.4472d+01

NOMBRE D'EQUATIONS -----= 12  
 ESPACE REQUIS POUR GRK-----= 51

\*\*\*\*\*  
 \*\*\*\*\* CHARGES AUX NOEUDS \*\*\*\*\*  
 \*\*\*\*\*

CAS DE CHARGEMENT NO 1

NOMBRE DE NOEUDS CHARGES = 2

NOEUD	FX	FY	MOMENT
2	.0000d+00	-0.1000d+03	.0000d+00
3	0.1000d+03	0.2000d+03	-0.1500d+03

CHARGE REPARTIE

\*\*\*\*\*

NOMBRE D'ELEMENTS CHARGES UNIF = 1

ELMT	W
1	-0.4800d+02



```
*****  
***** ANALYSE LINEAIRE *****  
*****  
CAS DE CHARGEMENT NO 1
```

## LES DEPLACEMENTS

\*\*\*\*\*

NOEUD	DX	DY	ROT
1	0.2808d-17	-0.1171d-17	-0.5429d-17
2	0.7368d-02	-0.5192d-02	-0.1335d-03
3	0.6410d-02	0.3421d-02	-0.2685d-03
4	0.1119d-18	0.7310d-18	-0.2302d-02

\*\*\*\*\*  
 \*\*\*\*\* EFFORTS INTERNES \*\*\*\*\*  
 \*\*\*\*\*

EFFORTS EN BOUT DE MEMBRURES  
 \*\*\*\*\*

ELMT	NG	VG	MG
1	-0.7481d+02	0.2949d+03	0.5429d+03
	ND	VD	MD
1	0.7481d+02	-0.5490d+02	0.3316d+03

\*\*aux 10 eme de portee\*\*  
 \*\*\*\*\*

X	N	V	M
.00	74.807	-294.903	-542.865
.50	74.807	-270.903	-401.413
1.00	74.807	-246.903	-271.962
1.50	74.807	-222.903	-154.511
2.00	74.807	-198.903	-49.059
2.50	74.807	-174.903	44.392
3.00	74.807	-150.903	125.843
3.50	74.807	-126.903	195.294
4.00	74.807	-102.903	252.746
4.50	74.807	-78.903	298.197
5.00	74.807	-54.903	331.648

EFFORTS EN BOUT DE MEMBRURES  
 \*\*\*\*\*

ELMT	NG	VG	MG
2	-0.1085d+03	-0.1106d+03	-0.3316d+03
	ND	VD	MD
2	0.1085d+03	0.1106d+03	-0.3410d+03

\*\*aux 10 eme de portee\*\*  
 \*\*\*\*\*

X	N	V	M
.00	108.461	110.577	331.648
.61	108.461	110.577	264.387
1.22	108.461	110.577	197.125
1.82	108.461	110.577	129.863
2.43	108.461	110.577	62.602
3.04	108.461	110.577	-4.660
3.65	108.461	110.577	-71.922
4.26	108.461	110.577	-139.183
4.87	108.461	110.577	-206.445
5.47	108.461	110.577	-273.707
6.08	108.461	110.577	-340.968

## EFFORTS EN BOUT DE MEMBRURES

\*\*\*\*\*

ELMT	NG	VG	MG
3	-0.6037d+02	0.4270d+02	0.1910d+03
	ND	VD	MD
3	0.6037d+02	-0.4270d+02	.0000d+00

\*\*aux 10 eme de portee\*\*

\*\*\*\*\*

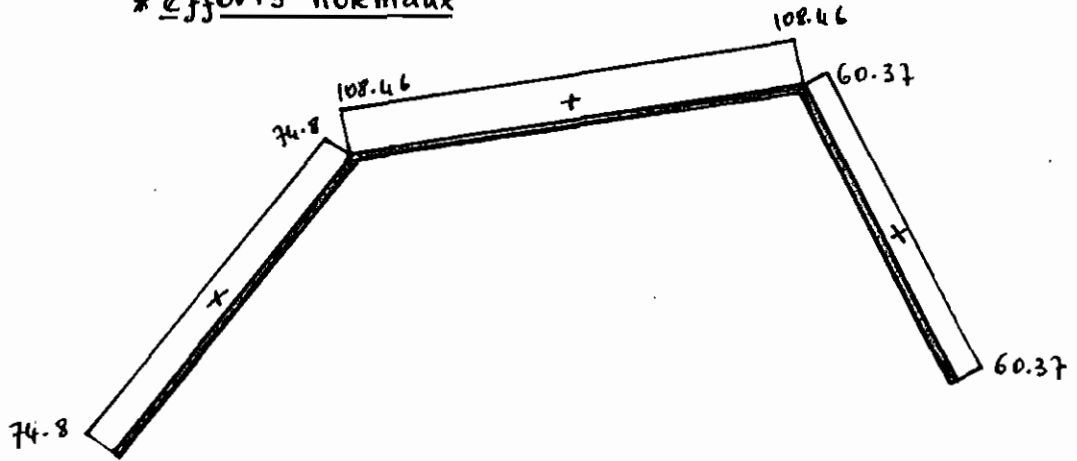
X	N	V	M
.00	60.373	-42.702	-190.968
.45	60.373	-42.702	-171.871
.89	60.373	-42.702	-152.775
1.34	60.373	-42.702	-133.678
1.79	60.373	-42.702	-114.581
2.24	60.373	-42.702	-95.484
2.68	60.373	-42.702	-76.387
3.13	60.373	-42.702	-57.290
3.58	60.373	-42.702	-38.194
4.02	60.373	-42.702	-19.097
4.47	60.373	-42.702	0.000

## CALCUL DES REACTIONS

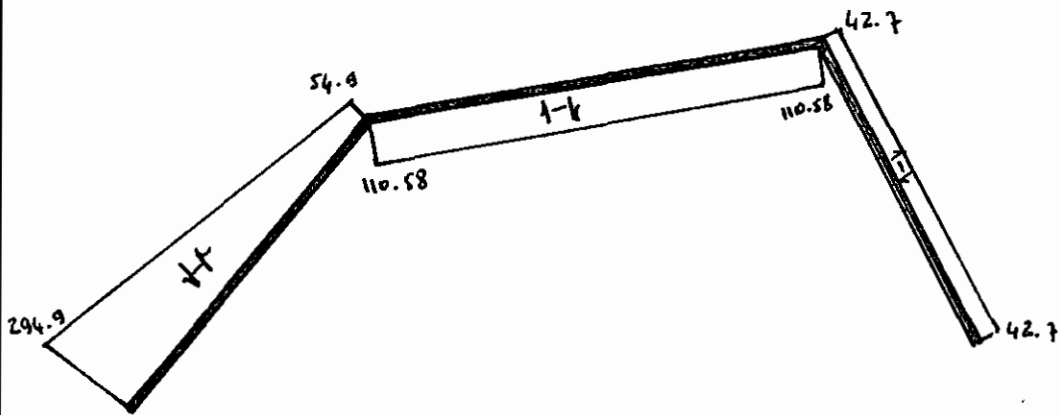
NOEUD	1	RX =	-0.2808d+03
NOEUD	1	RY =	0.1171d+03
NOEUD	1	RM =	0.5429d+03
NOEUD	4	RX =	-0.1119d+02
NOEUD	4	RY =	-0.7310d+02

Diagrammes

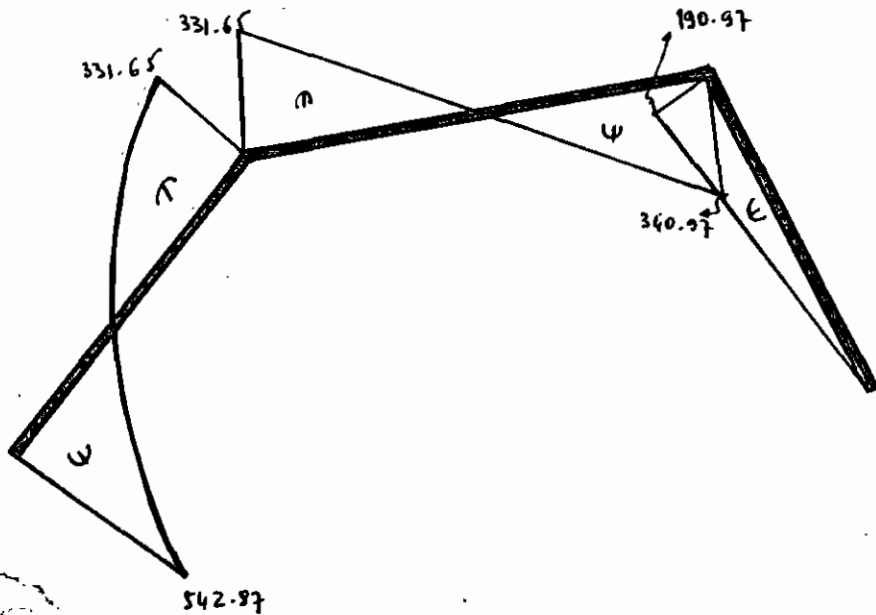
\* efforts normaux



\* efforts tranchant



\* moments fléchissants



### V.3 Bibliographie

- \* GERE and WEAVER: "Analysis of framed structures",  
D. Van Nostrand Company, 1965
- \* S. TIMOSHENKO: "Résistance des Matériaux II",  
Dunod 1968
- \* GHALI . M. NEVILLE: "Structural Analysis"  
Chapman and Hall 2<sup>e</sup> édition 1977
- \* M. DANIEL VANDERBIT: "Matrix Structural Analysis"  
Quantum Publishers, Inc. Copyright 1974
- \* ALFRED STROHMEIER: "Fortran 77. Approche  
systématique illustrée d'exemples"  
Eyrolles 2<sup>e</sup> édition 1984
- \* MOUSTAPHA NDIAYE: "Notes de Cours STRUCT 4.21"  
E.P.T 1984
- \* PAUL CROTEAU: "Analyse Géométriquement Non Linéaire  
des structures tridimensionnelles"  
fascicules de Publication 1977
- \* ROGER LUPIEN: "Notes de Cours STRUCT 4.21"  
E.P.T 1984